



การเพิ่มความน่าเชื่อถือได้ของระบบไฟฟ้าสำหรับรถไฟฟ้าขนส่งมวลชน  
Reliability Improvement of Electrical System  
for Electric Mass Rapid Transit Train

นายศรัณย์ ลักณาพาชื่นกุล  
Mr. Saran Laknapachuenkul

วิทยานิพนธ์นี้เป็นส่วนหนึ่งของการศึกษาตามหลักสูตรวิศวกรรมศาสตรมหาบัณฑิต  
สาขาวิชาวิศวกรรมไฟฟ้า คณะวิศวกรรมศาสตร์  
มหาวิทยาลัยเทคโนโลยีราชมงคลพระนคร



การเพิ่มความน่าเชื่อถือได้ของระบบไฟฟ้าสำหรับรถไฟฟ้าขนส่งมวลชน  
Reliability Improvement of Electrical System  
for Electric Mass Rapid Transit Train

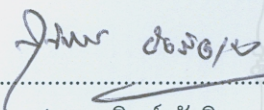
นายศรัณย์ ลักณาพาชินกุล  
Mr. Saran Laknapachuenkul


วิทยานิพนธ์นี้เป็นส่วนหนึ่งของการศึกษาตามหลักสูตรวิศวกรรมศาสตรมหาบัณฑิต  
สาขาวิชาวิศวกรรมไฟฟ้า คณะวิศวกรรมศาสตร์  
มหาวิทยาลัยเทคโนโลยีราชมงคลพระนคร  
ปีการศึกษา 2561

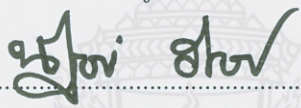
ลิขสิทธิ์ของมหาวิทยาลัยเทคโนโลยีราชมงคลพระนคร

ชื่อวิทยานิพนธ์ การเพิ่มความน่าเชื่อถือได้ของระบบไฟฟ้าสำหรับรถไฟฟ้าขนส่งมวลชน  
ชื่อ นามสกุล ศรัณย์ ลักณาพาชื่นกุล  
ชื่อปริญญา วิศวกรรมศาสตรมหาบัณฑิต  
สาขาวิชา วิศวกรรมไฟฟ้า  
คณะ วิศวกรรมศาสตร์  
อาจารย์ที่ปรึกษา ผู้ช่วยศาสตราจารย์ ดร.สาคร วุฒิพัฒน์พันธุ์

คณะกรรมการสอบวิทยานิพนธ์ได้ให้ความเห็นชอบวิทยานิพนธ์ฉบับนี้แล้ว

  
..... ประธานกรรมการ  
(ดร. สุวิทย์ อัจริยะเมต)

  
..... กรรมการ  
(ผู้ช่วยศาสตราจารย์ ดร. พูนศรี วรรณการ)

  
..... กรรมการ  
(รองศาสตราจารย์ ดร. นัฐโชติ รักไทยเจริญชีพ)

  
..... กรรมการและเลขานุการ  
(ผู้ช่วยศาสตราจารย์ ดร. สาคร วุฒิพัฒน์พันธุ์)

คณะวิศวกรรมศาสตร์ มหาวิทยาลัยเทคโนโลยีราชมงคลพระนคร อนุมัติให้รับ  
วิทยานิพนธ์ฉบับนี้เป็นส่วนหนึ่งของการศึกษาตามหลักสูตรวิศวกรรมศาสตรมหาบัณฑิต  
สาขาวิชาวิศวกรรมไฟฟ้า มหาวิทยาลัยเทคโนโลยีราชมงคลพระนคร

  
..... รักษาการแทนคณบดีคณะวิศวกรรมศาสตร์

(อาจารย์ ดร. ณัฐวรพล รัชสิริวัชรบุล)

วันที่ 3 เดือน ธันวาคม พ.ศ. 2561

ชื่อวิทยานิพนธ์	การเพิ่มความน่าเชื่อถือได้ของระบบไฟฟ้าสำหรับรถไฟฟ้าขนส่งมวลชน
ชื่อ นามสกุล	นายศรัณย์ ลัคนาพาชื่นกุล
รหัสนักศึกษา	055970402509-2
ชื่อปริญญา	วิศวกรรมศาสตรมหาบัณฑิต
สาขาวิชา	วิศวกรรมไฟฟ้า
คณะ	วิศวกรรมศาสตร์
อาจารย์ที่ปรึกษา	ผศ. ดร. ศาคร วุฒิพัฒน์พันธุ์
ปีการศึกษา	2561

## บทคัดย่อ

งานวิจัยนี้จะนำเสนอข้อมูลวิเคราะห์ของการเพิ่มความน่าเชื่อถือได้ของระบบการจ่ายไฟฟ้าสำหรับรถไฟฟ้าขนส่งมวลชน ซึ่งหมายถึงประสิทธิภาพของการจ่ายไฟฟ้า รวมถึงความไม่สมดุลของระบบการจ่ายไฟฟ้าว่ามีคุณภาพมากหรือน้อยเพียงใด

ระบบไฟฟ้าที่ถูกนำมาใช้ในระบรถไฟฟ้าขนส่งมวลชนนั้น มีการพิจารณารูปแบบการเชื่อมต่อหม้อแปลงไฟฟ้าสามเฟสของการไฟฟ้านครหลวงเข้ากับหม้อแปลงไฟฟ้าที่ถูกติดตั้งภายในห้องสถานีไฟฟ้าขับเคลื่อนกระแสสลับ จำนวน 4 รูปแบบ ได้แก่ การเชื่อมต่อแบบเฟสเดียว แบบวี แบบสกอตต์ และแบบเลอบลอง ว่าการเชื่อมต่อในรูปแบบใดจะมีผลทำให้เกิดความไม่สมดุลของระบบไฟฟ้ามากที่สุด รวมถึงวิธีในการแก้ไขปัญหาเพื่อรองรับความไม่สมดุลของระบบการจ่ายไฟฟ้า

จากผลการวิเคราะห์ดังกล่าวข้างต้น พบว่าการเชื่อมต่อแบบเฟสเดียวทำให้เกิดค่าแรงดันไม่สมดุลมากที่สุด และการเชื่อมต่อแบบเลอบลองทำให้เกิดค่าแรงดันไม่สมดุลน้อยที่สุด ดังนั้นการเชื่อมต่อหม้อแปลงไฟฟ้าแบบเลอบลองนี้ อาจลดผลกระทบที่เกิดขึ้นในระบบรถไฟฟ้าขนส่งมวลชน และเพิ่มความน่าเชื่อถือให้แก่ผู้บริโภค และสามารถให้บริการได้อย่างเต็มประสิทธิภาพต่อไป

คำสำคัญ : ความน่าเชื่อถือของระบบไฟฟ้า, ความไม่สมดุลของระบบไฟฟ้า, รถไฟฟ้าขนส่งมวลชน, การเชื่อมต่อหม้อแปลงไฟฟ้า

Thesis title                   Reliability Improvement of Electrical System for Electric Mass  
Rapid Transit Train  
Author                         Mr. Saran Laknapachuenkul  
Student ID                    055970402509-2  
Degree                         Master of Engineering  
Major program                Electrical Engineering  
Thesis Advisor (s):         Assist. Prof. Dr. Sakhon Woothipatanapan  
Academic Year                2018

## ABSTRACT

The propose of this research present a comparative study of the Reliability Improvement of Electrical System for Electric Mass Rapid Transit Train which describes in term of the power supply efficiency including voltage imbalance that could indicate how much the electric power quality is being more or less.

The electrical system to be used in the Mass Rapid Transit system has 4 types of connection between three (3) phases of Metropolitan Electricity Authority (MEA) transformer and station transformer which is Single phase, V-Type, Scott and Le-Blanc to be considered for the different transformer connections type could be carried out and resulted in the most unbalanced in power supply as well as properly solution for power supply mitigation of voltage imbalance.

From foregoing, the data analyst was discovered that a single phase connection could cause the most unbalance voltage but on the other hand Le-Blanc connection is the least unbalance which could be reduced the impact on the Mass Transit Train and increase the credibility of consumers in order to continuity implement service usage.

Keywords: Reliability Improvement, Voltage Imbalance, Mass Transit Train, Transformer Connection

## กิตติกรรมประกาศ

วิทยานิพนธ์ฉบับนี้สำเร็จลุล่วงตามวัตถุประสงค์ไปได้ด้วยดีด้วยความช่วยเหลือเป็นอย่างดีของผู้ช่วยศาสตราจารย์ ดร.สาคร วุฒิพัฒน์พันธุ์ รองศาสตราจารย์ ดร.นัฐโชติ รักไทยเจริญชีพ อาจารย์ที่ปรึกษาวิทยานิพนธ์ ดร.สุวิทย์ อัจริยะเมต ประธานกรรมการสอบวิทยานิพนธ์ และผู้ช่วยศาสตราจารย์ ดร. พูนศรี วรรณการ กรรมการสอบวิทยานิพนธ์ ที่กรุณาให้คำปรึกษาตลอดจนให้ความช่วยเหลือแก้ไขข้อบกพร่องต่างๆ เพื่อให้วิทยานิพนธ์ฉบับนี้มีความสมบูรณ์ ผู้วิจัยขอกราบขอบพระคุณเป็นอย่างสูงไว้ ณ โอกาสนี้

ขอขอบคุณภาควิชาวิศวกรรมไฟฟ้า คณะวิศวกรรมศาสตร์ มหาวิทยาลัยเทคโนโลยีราชมงคล วิทยาเขตพระนครเหนือ ที่เอื้อเฟื้อสถานที่รวมถึงวัสดุอุปกรณ์ต่างๆสำหรับการทำวิทยานิพนธ์ในครั้งนี้

ขอกราบขอบพระคุณบิดา มารดา และครอบครัว ตลอดจนญาติพี่น้องทุกคนที่คอยเป็นกำลังใจและให้การสนับสนุนแก่ผู้ทำวิจัยมาโดยตลอดจนสำเร็จการศึกษา และรวมถึงพี่ๆ เพื่อนๆ ทีมงานวิจัย ภาควิชาวิศวกรรมไฟฟ้า คณะวิศวกรรมศาสตร์ มหาวิทยาลัยเทคโนโลยีราชมงคล วิทยาเขตพระนครเหนือ ที่ให้กำลังใจและร่วมแรงใจในการปฏิบัติงานตลอดมา

ศรัณย์ ลีคณาพาชื่นกุล

# สารบัญ

หน้า

บทคัดย่อ (ภาษาไทย)	
บทคัดย่อ (ภาษาอังกฤษ)	
กิตติกรรมประกาศ	
สารบัญ	
สารบัญภาพ	
สารบัญตาราง	
บทที่	
บทที่ 1. บทนำ	12
1.1 ความเป็นมาและความสำคัญของปัญหา	12
1.2 วัตถุประสงค์	14
1.3 ขอบเขตของการศึกษา	14
1.4 ประโยชน์ที่คาดว่าจะได้รับ	14
บทที่ 2. เอกสารและงานวิจัยที่เกี่ยวข้อง	16
2.1 ระบบการส่งและจ่ายแรงดันไฟฟ้า	16
2.2 เสถียรภาพทางไฟฟ้ากำลัง	19
2.3 หลักการและงานวิจัยที่เกี่ยวข้อง	21
2.4 องค์ประกอบที่มีผลต่อเสถียรภาพของแรงดันไฟฟ้า	21
2.5 ตู้โดยสารรถไฟฟ้าขนส่งมวลชน	22
2.6 ตู้โดยสารรถไฟฟ้าขนส่งมวลชนแอร์พอดลิงค์	25
2.7 ความไม่สมดุลของระบบไฟฟ้า	27
2.8 ส่วนประกอบสมมาตรของระบบไฟฟ้า 3 เฟส	27
2.9 เพอร์เซ็นต์ตัวประกอบแรงดันไฟฟ้าไม่สมดุล	28
2.10 ผลกระทบจากการเกิดความไม่สมดุลของแรงดันไฟฟ้า	29
2.11 วิธีลดผลกระทบหรือความเสี่ยงจากการเกิดความไม่สมดุลฯ	31
2.12 หม้อแปลงไฟฟ้าภายในห้อง Traction Substation	31
2.13 โปรแกรม Digsilent Power Factory	37
2.14 ปุ่มใช้งานพื้นฐานในหน้าต่าง Main tool bar	39
2.15 สรุป	41

## สารบัญ (ต่อ)

	หน้า
บทที่ 3. แบบจำลองการต่อหม้อแปลงไฟฟ้า	42
3.1 การเชื่อมต่อหม้อแปลงไฟฟ้าแบบเฟสเดียว	42
3.2 การเชื่อมต่อหม้อแปลงไฟฟ้าแบบวี	43
3.3 การเชื่อมต่อหม้อแปลงไฟฟ้าแบบสกอตต์	43
3.4 แบบจำลองหม้อแปลงไฟฟ้ากระแสสลับของสถานีขับเคลื่อน	44
บทที่ 4 การวิเคราะห์และผล	48
4.1 บทนำ	48
4.2 สรุป	51
บทที่ 5 สรุปและข้อเสนอแนะ	52
5.1 สรุปผลการดำเนินงาน	52
5.2 ข้อเสนอแนะ	52

เอกสารอ้างอิง  
ภาคผนวก  
ประวัติผู้เขียน



## สารบัญภาพ

	หน้า
รูปที่	
1.1 ปริมาณความต้องการใช้พลังงานไฟฟ้า	13
1.2 การจ่ายไฟฟ้ากระแสตรงให้กับระบบรถไฟฟ้าขนส่งมวลชน	13
2.1 ลำดับขั้นตอนการส่งและจ่ายพลังงานไฟฟ้า	16
2.2 แสดงสายส่งระบบเหนือศีรษะ	17
2.3 การเดินสายไฟฟ้าแบบ Duct bank	18
2.4 การเดินสายไฟฟ้าแบบ Direct Burial	18
2.5 การเดินสายไฟฟ้าแบบ EFLEX	19
2.6 การเกิดเสถียรภาพชั่วคราว	20
2.7 การเกิดเสถียรภาพคงตัว	20
2.8 ตู้โดยสารรถไฟฟ้าขนส่งมวลชน	22
2.9 องค์ประกอบของขบวนรถไฟฟ้าขนส่งมวลชน	23
2.10 ขบวนรถไฟฟ้าขนส่งมวลชนสายสีม่วง	23
2.11 หลักการทำงานของระบบรถไฟฟ้าขนส่งมวลชน	24
2.12 Collector shoe ทำหน้าที่รับกระแสไฟฟ้าจากรางที่สาม	24
2.13 รายละเอียดของรางที่สาม	25
2.14 ตู้โดยสารรถไฟฟ้าแอร์พอดลิงค์	25
2.15 องค์ประกอบของขบวนรถไฟฟ้าแอร์พอดลิงค์	26
2.16 แผนผังการจ่ายไฟฟ้าให้กับโครงการรถไฟฟ้าแอร์พอดลิงค์	26
2.17 เฟสเซอร์ของแรงดันไฟฟ้าทั้งสามเฟสแบบสมดุลและไม่สมดุล	27
2.18 Positive Sequence Component	27
2.19 Negative Sequence Component	28
2.20 Zero Sequence Component	28
2.21 Relationship between %imbalance and Temp rise	30
2.22 กราฟสมรรถนะของมอเตอร์ที่ลดลงเนื่องจากแรงดันไม่สมดุล	30
2.23 Single Phase Transformer	32
2.24 Three Phase Transformer	32
2.25 การเชื่อมต่อแบบเดลต้า	33
2.26 แรงดันไฟฟ้าที่ต่อในแต่ละขดลวดแบบเดลต้า	33

## สารบัญญภาพ (ต่อ)

	หน้า
รูปที่	
2.27 การเชื่อมต่อแบบสตาร์	34
2.28 แรงดันไฟฟ้าที่ต่อในแต่ละขดลวดแบบสตาร์	34
2.29 การต่อแบบเดลต้าเปิดหนึ่งด้าน - เดลต้าเปิดหนึ่งด้าน	36
2.30 การต่อแบบเดลต้า - เดลต้าเปิดหนึ่งด้าน	36
2.31 หน้าต่างของโปรแกรม Digsilent Power Factory	38
2.32 หน้าต่างของ Data manager ที่ใช้จัดเก็บข้อมูลต่างๆ	38
2.33 ส่วนประกอบต่างๆของโปรแกรม	39
3.1 การเชื่อมต่อแบบเฟสเดียว	42
3.2 การเชื่อมต่อแบบวี	43
3.3 การเชื่อมต่อแบบสกอตต์	44
3.4 การเชื่อมต่อแบบเฟสเดียวจากโปรแกรม Digsilent Power Factory	45
3.5 การเชื่อมต่อแบบสกอตต์จากโปรแกรม Digsilent Power Factory	45
3.6 การเชื่อมต่อแบบวีจากโปรแกรม Digsilent power Factory	46
3.7 การเชื่อมต่อแบบเลอบลองจากโปรแกรม Digsilent Power Factory	47
4.1 แบบจำลองการติดตั้งหม้อแปลงในแต่ละสถานีไฟฟ้าขับเคลื่อน	49
4.2 แผนผังแสดงการดำเนินงานทดลอง	49
4.3 กราฟแสดงระยะทาง - เวลา ที่รถไฟเคลื่อนที่ไปและกลับ	50
4.4 เปรียบเทียบผลของ %VUF จากการเชื่อมต่อหม้อแปลงแบบต่างๆ	50

## สารบัญตาราง

	หน้า
ตารางที่	
1.1 แสดงข้อกำหนดความกว้างเขตเดินสายไฟฟ้า	17
2.1 แสดงรายละเอียดของขบวนการไฟฟ้าขนส่งมวลชน	22
2.2 ค่าตามมาตรฐาน IEEE 1159	29
2.3 การต่อหม้อแปลงไฟฟ้า 3 เฟส และการนำไปใช้งาน	35
2.4 มาตรฐานการต่อขดลวดในหม้อแปลงไฟฟ้า 3 เฟส	35
2.5 กำลังไฟฟ้าที่สามารถส่งผ่านได้จากการเชื่อมต่อแบบเดลต้าเปิดหนึ่งด้าน	36
4.1 ตารางค่า %VUF สูงสุดและต่ำสุด ตามแต่ละสถานีไฟฟ้า	51



# บทที่ 1

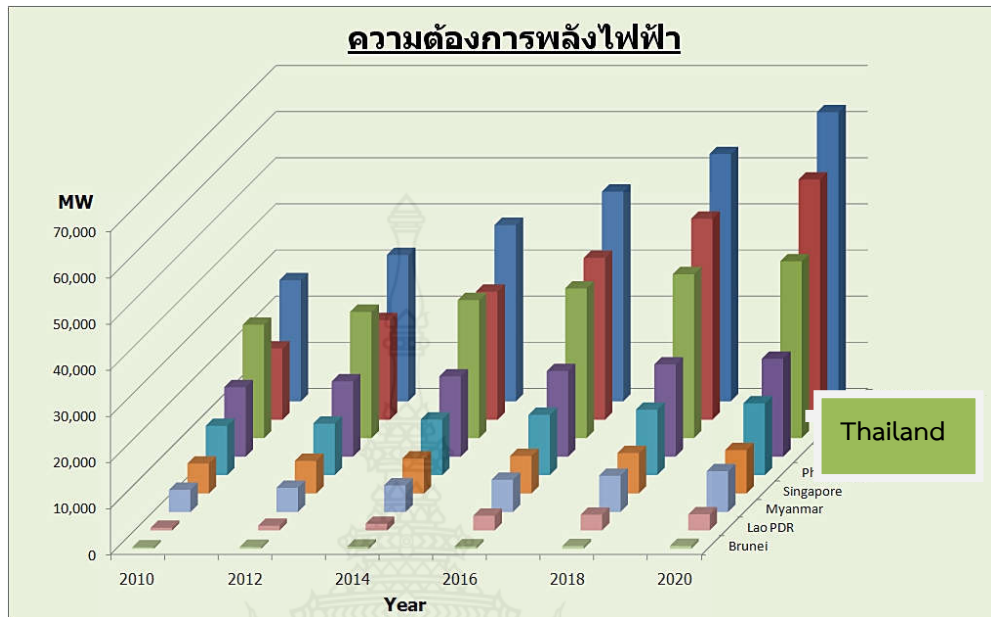
## บทนำ

บทนำของวิทยานิพนธ์เรื่องการเพิ่มความน่าเชื่อถือได้ของระบบไฟฟ้าที่จ่ายให้รถไฟฟ้าขนส่งมวลชน มีเนื้อหาทั้งหมด 6 ส่วนด้วยกันคือ ความเป็นมาและความสำคัญของปัญหา วัตถุประสงค์ ขอบเขตของการศึกษา กรอบแนวความคิด และประโยชน์ที่คาดว่าจะได้รับ โดยในแต่ละส่วนมีรายละเอียดของเนื้อหา ดังนี้

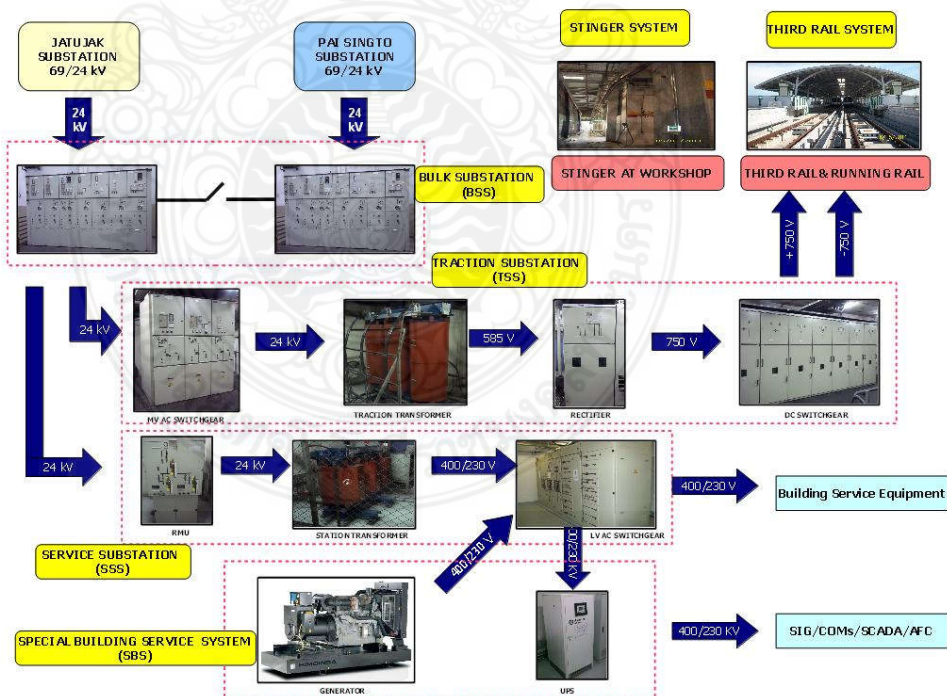
### 1.1 ความเป็นมาและความสำคัญของปัญหา

ในปัจจุบันนี้มีนวัตกรรมทางด้านเทคโนโลยีเกิดขึ้นหลายอย่างซึ่งทำให้เกิดการพัฒนาในเชิงอุตสาหกรรมซึ่งเป็นผลดีต่อผู้บริโภค หนึ่งในนั้นคือด้านระบบไฟฟ้าที่มีการเจริญเติบโตและมีการพัฒนาขึ้นอย่างรวดเร็วทั้งในด้านของผู้ผลิตไฟฟ้า และผู้ใช้บริการไฟฟ้า ซึ่งนอกจากการผลิตไฟฟ้าเพื่อสามารถนำไปใช้งานได้นั้นต้องมีคุณภาพที่ดีแล้ว ระบบการส่งจ่ายกระแสไฟฟ้าก็มีส่วนเกี่ยวข้องรองมาเป็นอันดับที่สองเพราะหากระบบการส่งจ่ายไม่มีประสิทธิภาพเพียงพอ หรือเกิดปัญหาขึ้นภายในระบบเป็นเวลานานก็ย่อมทำให้เกิดปัญหาตามมาอีกหลายประการไม่ว่าจะเป็นผลเสียต่อโรงงานอุตสาหกรรมทั้งขนาดย่อมไปจนถึงอุตสาหกรรมขนาดใหญ่ หรืออาจส่งผลกระทบต่อระบบรถไฟฟ้าขนส่งมวลชนที่ระบบการจ่ายไฟฟ้าเป็นส่วนที่สำคัญมาก ๆ ต่อการเดินทางและการให้บริการต่อประชาชน และหากระบบการจ่ายไฟฟ้ามีปัญหาเป็นระยะเวลาที่ยาวนานก็จะส่งผลเสียมาสู่องค์กรได้ และอาจจะทำให้ความน่าเชื่อถือในสายตาของผู้บริโภคต่อองค์กรนั้นลดน้อยลงไปได้มากเช่นกัน ปัจจุบันระบบรถไฟฟ้าขนส่งมวลชนของประเทศไทยสามารถแบ่งได้ 2 ประเภท แบบแรก คือ การเชื่อมต่อระบบไฟฟ้าแบบกระแสตรงที่แรงดัน 750 VDC ที่ถูกแปลงแรงดันผ่านตัว Rectifier โดยถูกติดตั้งอยู่ที่ห้องสถานีไฟฟ้าขับเคลื่อนตลอดแนวเส้นทางวิ่งของรถไฟฟ้า การใช้หม้อแปลงไฟฟ้ากระแสตรงนี้ไม่ค่อยเกิดปัญหาในการจ่ายกระแสไฟฟ้าเข้าในระบบแต่จะมีปัญหากับระบบควบคุมการขับเคลื่อนของตัวรถและระบบอาณัติสัญญาณมากกว่า แบบที่สอง คือ การเชื่อมต่อระบบไฟฟ้าแบบกระแสสลับโดยที่หม้อแปลงหนึ่งข้างรับกระแสไฟฟ้าจากการไฟฟ้า ที่ระดับแรงดัน 69 kV ส่วนหม้อแปลงอีกด้านเชื่อมต่อกับระบบของรถไฟฟ้า และสถานีที่ให้บริการ ปัญหาอาจเกิดมาจากความไม่สมดุลของระบบการส่งจ่ายไฟฟ้า หรือการที่รถไฟฟ้าขนส่งมวลชนนั้นมีโหลดที่เพิ่มมากขึ้นทั้งจากประชาชนที่มาใช้บริการเป็นจำนวนมากทำให้มอเตอร์ไฟฟ้าใช้แรงบิดที่เพิ่มมากขึ้นในช่วงตอนออกตัว ทำให้มีการใช้กระแสไฟฟ้าที่มากขึ้นในช่วงเวลานั้น โดยในช่วงนั้นอาจทำให้เกิดแรงดันไฟฟ้าไม่สมดุลขึ้นภายในระบบได้ ซึ่งถ้าหากเราสามารถแก้ไขปัญหาล่วงหน้าและวางแผนในส่วนนี้ได้เพื่อที่จะสามารถรองรับการใช้พลังงานที่เพิ่มมากขึ้นในอนาคตโดยไม่มีข้อบกพร่องก็จะเป็นผลดีต่อผู้ที่ใช้บริการได้ โดยอาจพิจารณาจากข้อมูลความต้องการใช้ไฟฟ้าที่มีจำนวนตัวเลขเพิ่มขึ้นเรื่อยๆทุกปี โดยคาดการณ์ว่าในปี

2020 จะมีการใช้พลังงานไฟฟ้าสูงถึง 30,000 MW ซึ่งจากภาพที่ 1.1 แสดงให้เห็นว่าพลังงานไฟฟ้ามีความสำคัญต่อผู้บริโภคที่ในแต่ละปีก็จะมีความต้องการใช้พลังงานมากขึ้น ดังแสดงใน ภาพที่ 1.1



ภาพที่ 1.1 ปริมาณความต้องการใช้พลังงานไฟฟ้า  
ที่มาของภาพ Asian Power Grid



ภาพที่ 1.2 การจ่ายไฟฟ้ากระแสตรงให้กับระบบรถไฟฟ้าขนส่งมวลชน  
ที่มาของภาพ <http://engineerfreelance.blogspot.com/>

อาคารไฟฟ้าประธาน (Bulk Sub-Station) สำหรับโครงการรถไฟฟ้าขนส่งมวลชนแบบ กระแสตรงส่วนใหญ่แล้วจะมีอยู่สองที่ด้วยกันเพื่อเป็นส่วนจ่ายพลังงานไฟฟ้าสำรองในกรณีที่ส่วนจ่าย พลังงานไฟฟ้าหลักเกิดการขัดข้องขึ้น โดยหากเกิดการขัดข้องจากการไฟฟ้าทำให้ไม่สามารถจ่าย กระแสไฟฟ้าได้ทั้งสองอาคาร ก็ยังมีพลังงานไฟฟ้าสำรองจากเครื่องเจนเนอเรเตอร์เข้ามาช่วยจ่าย กระแสไฟฟ้าให้ระบบไฟฟ้าภายในตัวสถานีรถไฟฟ้าอีกชั้นหนึ่ง โดยแสดงแผนภาพการจ่ายไฟฟ้า กระแสตรงให้กับระบบรถไฟฟ้าขนส่งมวลชน ดังภาพที่ 1.2

นอกเหนือจากระบบการส่งจ่ายกระแสไฟฟ้าจากสายส่งไฟฟ้าแรงสูงของการไฟฟ้านคร หลวงจะมีส่วนที่สำคัญมากต่ออุปกรณ์ไฟฟ้าโดยรวมแล้วนั้น การตรวจสอบและซ่อมบำรุงอุปกรณ์ ไฟฟ้าของระบบรถไฟฟ้าเพื่อตรวจสอบหาความผิดพลาดของตัวอุปกรณ์ก็มีส่วนที่สำคัญมากเช่นกัน สำหรับการรักษาคุณภาพของแรงดันไฟฟ้าเพราะหากอุปกรณ์เกิดการชำรุดเสียหายช่วงใดช่วงหนึ่งก็ อาจทำให้ระบบการเดินรถไฟฟ้ามีปัญหาเกิดขึ้นได้และจะทำให้เกิดผลกระทบต่อทั้งผู้ให้บริการรวมถึง ด้านผู้ใช้บริการด้วย สำหรับปัญหาที่มีความเสี่ยงที่จะเกิดขึ้นในระบบนี้อาจจะไม่ได้มาจากความ ผิดพลาดของบุคคลหรือเครื่องจักรอย่างเดียว แต่อาจจะได้รับผลกระทบมาจากภัยธรรมชาติก็มีความ เป็นไปได้เช่นกัน

## 1.2 วัตถุประสงค์

1.2.1 เพื่อเป็นการวิเคราะห์แนวทางการเพิ่มความน่าเชื่อถือได้ของการส่งจ่าย แรงดันไฟฟ้าให้กับระบบรถไฟฟ้าขนส่งมวลชน

1.2.2 เพื่อเป็นการวิเคราะห์ปรับปรุงประสิทธิภาพของอุปกรณ์ให้มีความเสี่ยงที่จะเกิด ปัญหาความไม่สมดุลของระบบไฟฟ้าน้อยที่สุด

## 1.3 ขอบเขตของการศึกษา

1.3.1 ศึกษาผลกระทบของระบบส่งจ่ายแรงดันไฟฟ้าให้กับระบบโดยสารรถไฟฟ้าขนส่ง มวลชนแอโรพอดลิ้งค์จากกรณีเกิดความไม่สมดุลของระบบไฟฟ้า

1.3.2 ทำการวิเคราะห์ข้อมูลแรงดันไฟฟ้าไม่สมดุลแบบเฟสเดียว, แบบวี, แบบสกอตต์ และ แบบเลอบลอง

## 1.4 ประโยชน์ที่คาดว่าจะได้รับ

1.4.1 ได้ความรู้ในเชิงทฤษฎีเกี่ยวกับข้อมูลของระบบรถไฟฟ้าขนส่งมวลชนว่ามีกี่ประเภท และแตกต่างกันอย่างไร

1.4.2 เพื่อให้ทราบถึงข้อมูลแรงดันไฟฟ้าไม่สมดุลที่เกิดขึ้นและอาจส่งผลกระทบต่อมอเตอร์ไฟฟ้า ขับเคลื่อนได้

- 1.4.3 ได้แนวทางในการนำมาปรับปรุงหรือเพิ่มค่าของความน่าเชื่อถือของระบบไฟฟ้าในระบบได้
- 1.4.4 ได้ทดลองทำรูปแบบจำลองโดยใช้โปรแกรมคอมพิวเตอร์สำเร็จรูป เพื่อใช้ในการวิเคราะห์ผลการทดลองที่เกี่ยวข้องกับระบบสายส่งไฟฟ้าให้ดูโดยสารขบวนการไฟฟ้า และสามารถนำไปประยุกต์ใช้เป็นแนวทางในการแก้ไขปรับปรุงปัญหาที่เกิดขึ้นมาได้ในอนาคต



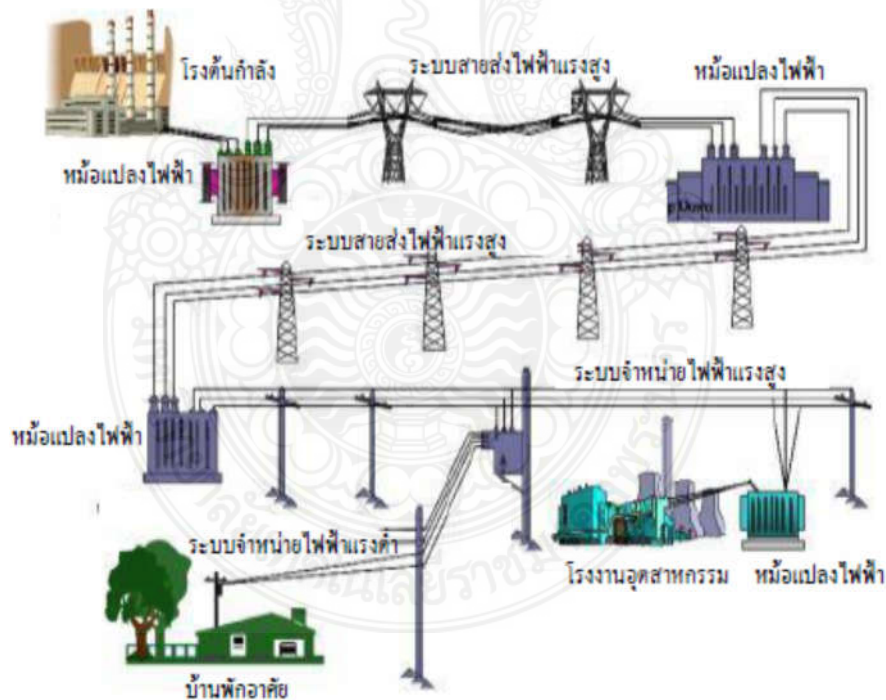
## บทที่ 2

### เอกสารและงานวิจัยที่เกี่ยวข้อง

ในบทที่ 2 ของวิทยานิพนธ์นี้จะกล่าวถึงเอกสาร และงานวิจัยที่เกี่ยวข้องโดยมีเนื้อหาประกอบไปด้วยส่วนหลักๆได้แก่ ระบบการส่งและจ่ายแรงดันไฟฟ้า เสถียรภาพทางไฟฟ้ากำลัง การควบคุมและรักษาเสถียรภาพคงค่าแรงดันไฟฟ้า

#### 2.1 ระบบการส่งและจ่ายแรงดันไฟฟ้า

(ทวี ไชยโครต, 2554) กล่าวว่า ระบบไฟฟ้าในประเทศไทยเป็นแรงดันไฟฟ้ากระแสสลับ มีความถี่ที่ 50 Hz ที่สามารถแบ่งได้แบบระบบ 1 เฟส ที่แรงดัน 220 VAC ใช้งานตามบ้านพักอาศัยทั่วไป แบบระบบ 3 เฟส ที่แรงดัน 380 VAC ใช้งานในระดับโรงงานอุตสาหกรรมขนาดใหญ่ และระบบส่งจ่ายไฟฟ้าแรงสูงที่ระดับแรงดัน 11 kV, 22kV, 33kV, 69kV, 115 kV, 230kV และ 500 kV ตามลำดับ โดยมีส่วนประกอบหลักๆได้แก่ โรงต้นกำลัง, สายส่ง, สถานีไฟฟ้าต้นทาง เป็นต้นดังแสดงในภาพ 2.1

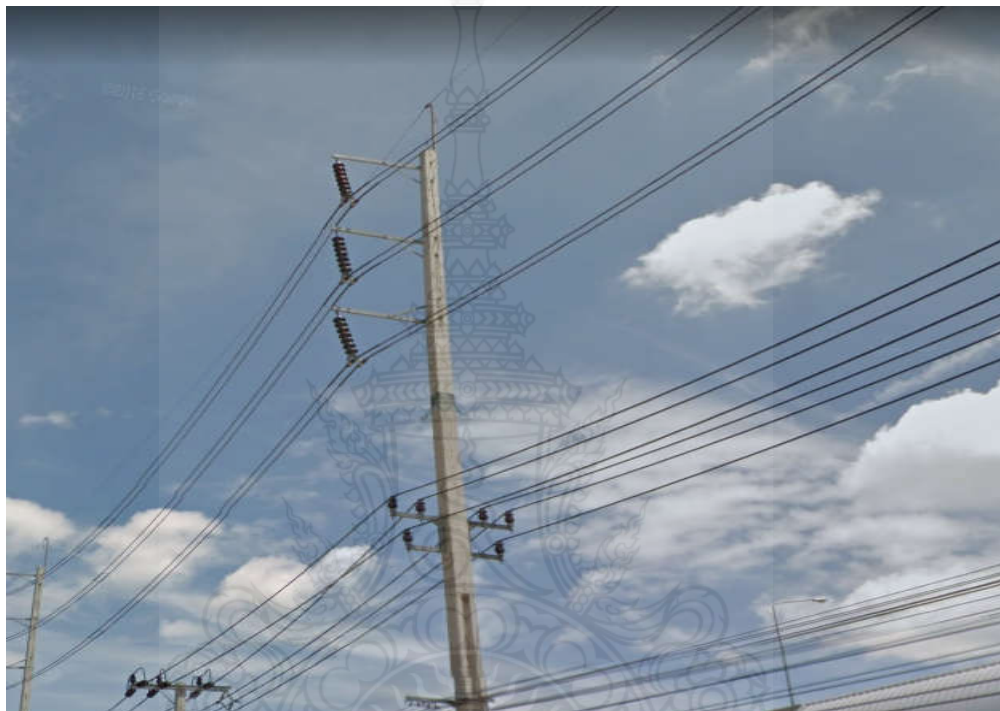


ภาพที่ 2.1 ลำดับขั้นตอนการส่งและจ่ายพลังงานไฟฟ้า  
ที่มาของภาพ <http://alcoholim.blogspot.com/>



จากภาพที่ 2.1 จะแสดงให้เห็นตั้งแต่ขั้นตอนการผลิตและรอส่ง แต่ในขั้นตอนการส่งไฟฟ้านั้นก็ต้องมีระบบสายส่งที่มีคุณภาพ ซึ่งระบบการส่งกำลังไฟฟ้าจะมีสายส่งที่ทำหน้าที่ส่งพลังงานไฟฟ้าจากโรงจักรไฟฟ้าไปยังสถานีไฟฟ้าต่างๆ โดยสามารถแบ่งระบบการส่งกำลังไฟฟ้าได้ดังนี้

2.1.1) สายส่งระบบเหนือศีรษะ (Overhead line system) สายตัวนำจะอยู่บนเสาส่งไฟฟ้า ผ่านที่โล่งแจ้งจากสถานีหนึ่งไปยังอีกสถานีหนึ่ง ซึ่งง่ายต่อการบำรุงรักษา ตรวจสอบข้อขัดข้องของระบบส่งกำลังไฟฟ้าดังแสดงในภาพที่ 2.2



ภาพที่ 2.2 แสดงสายส่งระบบเหนือศีรษะ

ตารางที่ 1.1 แสดงข้อกำหนดความกว้างเขตเดินสายไฟฟ้า

ขนาดของสายส่งไฟฟ้า	ระยะจากจุดกึ่งกลางด้านละ	ระยะรวมเขตเดินสายไฟฟ้า
69 kV	9 m	18 m
115 kV	12 m	24 m
230 kV	20 m	40 m
500 kV	40 m	80 m

2.1.2) สายส่งระบบฝังใต้ดิน (Underground cable system) ระบบสายส่งไฟฟ้าใต้ดินสามารถแบ่งออกได้เป็น 3 รูปแบบดังนี้

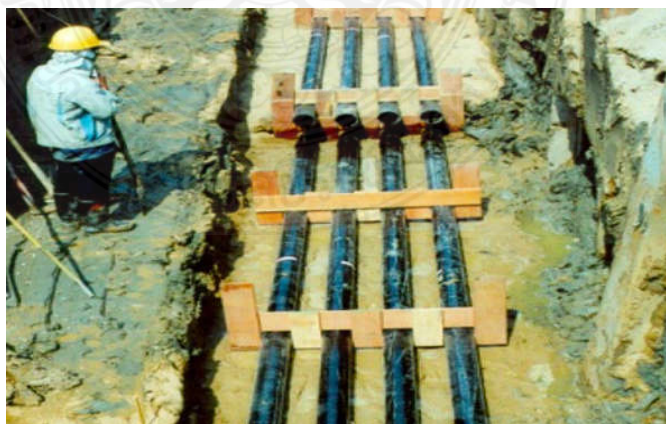
2.1.2.1 แบบเดินสายในท่อร้อยสายหุ้มด้วยคอนกรีต (Duct bank) ซึ่งการเดินสายในรูปแบบนี้จะต้องทำการขุดดินตามแนวสายไฟและทำการล้อมด้วยคอนกรีตเสริมเหล็กอีกชั้นหนึ่ง

2.1.2.2 แบบเดินสายฝังดินโดยตรง (Direct burial) เป็นการฝังไว้ใต้ดินโดยตรง การเดินสายไฟในร่องคอนกรีตใช้กับไฟฟ้าแรงดันต่ำ และการวางสายไฟบนรางวางสายจะใช้กับไฟฟ้าแรงดันสูง

2.1.2.3 แบบเดินสายฝังดินแบบลูกฟูก (EFLEX) เป็นการเดินสายไฟด้วยท่อ HDPE ซึ่งมีค่าใช้จ่ายต่ำ แต่ค่าการบำรุงรักษาสูง



ภาพที่ 2.3 การเดินสายไฟฟ้าแบบ Duct bank



ภาพที่ 2.4 การเดินสายไฟฟ้าแบบ Direct Burial

ที่มาของภาพ <http://ftiebusiness.com/shop/product-detail.php?id=97707&uid=42939>



ภาพที่ 2.5 การเดินสายไฟฟ้าแบบ EFLEX

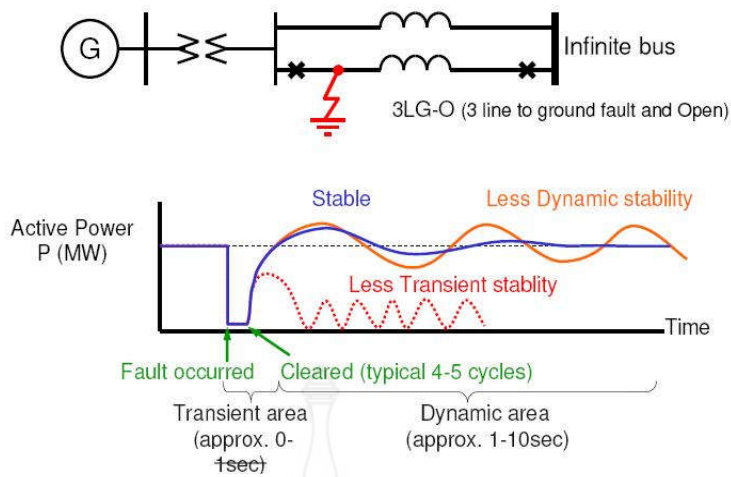
ที่มาของภาพ <https://engfanatic.tumcivil.com/engfanatic/article/333>

## 2.2 เสถียรภาพทางไฟฟ้ากำลัง

ระบบการส่งและจ่ายไฟฟ้า ความเชื่อถือ และเสถียรภาพของระบบนั้นนับได้ว่าเป็นสิ่งที่มีความสำคัญอย่างยิ่งต่อผู้ใช้ไฟฟ้า ระบบไฟฟ้าต้องประกอบด้วยแหล่งผลิตไฟฟ้าหลายประเภท เช่น โรงไฟฟ้าพลังงานน้ำ โรงไฟฟ้าพลังงานความร้อนร่วม หรือโรงไฟฟ้าถ่านหินเป็นต้น โดยโรงไฟฟ้าพลังงานความร้อนร่วมบางแห่งเป็นตัวจ่ายเสริมให้กับในระบบ (Base load)

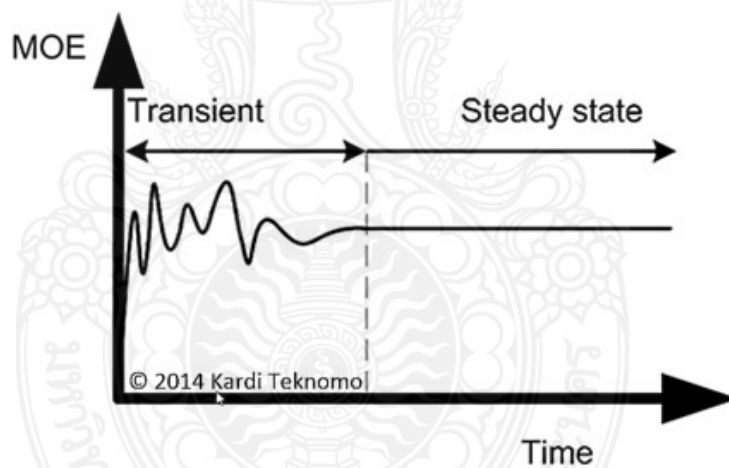
เสถียรภาพของระบบไฟฟ้าคือ ความสามารถในการส่งจ่ายกำลังไฟฟ้าได้ติดต่อกันโดยเมื่อโหลดมีลักษณะคงที่และค่อยๆเปลี่ยนแปลงไปที่ละน้อยจะเรียกว่าเสถียรภาพที่มีความสม่ำเสมอ เมื่อเกิดการรบกวนขึ้นในทันทีทันใดระหว่างการปฏิบัติงานอย่างสม่ำเสมอจะเรียกว่าเสถียรภาพชั่วคราวของระบบส่งจ่ายไฟฟ้า โดยเสถียรภาพสามารถแบ่งระบบไฟฟ้าและขนาดของลิ่งรบกวนได้เป็น 3 รูปแบบได้แก่

2.2.1 เสถียรภาพชั่วคราว (Transient Stability) เกิดจากมีลิ่งรบกวนขนาดใหญ่ เกิดการลัดวงจรขึ้นอย่างรวดเร็วฉับพลัน หรือมีการปลดโหลดขนาดใหญ่ออกจากในระบบ หรือมีการเปลี่ยนแปลงของโหลดขนาดใหญ่ โดยต้องพิจารณาว่าหลังเกิดเหตุการณ์สามารถแก้ไขให้กลับสู่เสถียรภาพได้หรือไม่



ภาพที่ 2.6 การเกิดเสถียรภาพชั่วคราว

2.2.2 เสถียรภาพคงตัว (Steady State Stability) เกิดจากมีลิ่งรบกวนมากกระทำ และค่อยๆเพิ่มขึ้นอย่างช้าๆ



ภาพที่ 2.7 การเกิดเสถียรภาพคงตัว

2.2.3 เสถียรภาพพลวัต (Dynamic Stability) เกิดขึ้นจากลิ่งรบกวนขนาดเล็กๆ และเกิดขึ้นอย่างช้าๆจนอาจทำให้เกิดการแกว่ง ซึ่งมีผลต่อการควบคุมเครื่องกำเนิดไฟฟ้า

## 2.3 หลักการและงานวิจัยที่เกี่ยวข้อง

(N. Mithulanathan, A.sode-Yome, N.Acharya, S. Phichaisawat, 2005) ได้นำเสนอการศึกษาเสถียรภาพแรงดันในระบบไฟฟ้ากำลังของประเทศไทย และการเพิ่มเสถียรภาพในระบบโดยการติดตั้งอุปกรณ์ชดเชยแรงดันไฟฟ้ารีแอคทีฟที่ทั้งชุดตัวเก็บประจุและอุปกรณ์ชดเชยแรงดันไฟฟ้าแบบยัดหย่น โดยการวิเคราะห์จากค่าองค์ประกอบโพลตสูงสุดก่อนที่ระบบจะพังทลายจากการวิจัยค้นพบว่าสถานีที่จังหวัดเชียงใหม่มีการเปลี่ยนของแรงดันมากที่สุดเมื่อมีการเพิ่มโพลตอย่างต่อเนื่อง หลังจากติดตั้งอุปกรณ์ชดเชยกำลังไฟฟ้าแบบยัดหย่นเข้าไปในระบบนี้สามารถเพิ่มเสถียรภาพไฟฟ้าภายในระบบได้ 20-30 %

(A. Sode-Yome, N. Mithulanathan, 2005) ได้นำเสนอการเพิ่มประสิทธิภาพแรงดันไฟฟ้าในระบบมาตราของ IEEE 14 Bus โดยการติดตั้งอุปกรณ์ชดเชยแรงดันไฟฟ้าแบบยัดหย่น 3 ชนิด คือตัวควบคุมแรงดัน Static Synchronous Compensator (STACOM), ตัวเก็บประจุอนุกรมควบคุมด้วยไทรสเตอร์ Thyristor Control Series Capacity (TCSC) และตัวควบคุมกำลังไฟฟ้า Static Synchronous Series Compensator (SSSC) โดยใช้วิธีการ Communication Power Flow เขียนกราฟแสดงความสัมพันธ์ระหว่างแรงดันไฟฟ้ากับกำลังไฟฟ้าจริง เพื่อหาค่าองค์ประกอบโพลตสูงสุดของระบบก่อนถึงสภาวะแรงดันพังทลาย โดยจากการวิจัยพบว่าระบบ STACOM สามารถเพิ่มค่าองค์ประกอบโพลตสูงสุดได้มากกว่าแบบ TCSC และแบบ SSSC

สรุปแล้วเสถียรภาพแรงดันไฟฟ้าคือ ความสามารถของระบบในการรักษาระดับของแรงดันให้คงที่ภายในระบบหลังจากเกิดปัญหาขึ้น ซึ่งจะขึ้นอยู่กับความสามารถในการรักษาความสมดุลระหว่างแหล่งจ่ายพลังงานกับโพลต ความไม่มีเสถียรภาพของแรงดันนี้อาจเกิดขึ้นจากแรงดันที่ลดลงหรือเพิ่มขึ้นของบัสอันเนื่องมาจากการสูญเสียที่สายส่ง

## 2.4 องค์ประกอบที่มีผลต่อเสถียรภาพของแรงดันไฟฟ้า

เสถียรภาพของแรงดันไฟฟ้าขึ้นอยู่กับองค์ประกอบต่างๆดังนี้

2.4.1 การทำงานของอุปกรณ์ในระบบ การเกิดแรงดันพังทลายมีสาเหตุมาจากอุปกรณ์ด้วยส่วนหนึ่ง ซึ่งการตั้งค่าอุปกรณ์ป้องกันควรคำนึงถึงการเพิ่มขึ้นของโพลตอย่างรวดเร็ว การชดเชยค่ากำลังไฟฟ้ารีแอคทีฟ และการตัดส่วนที่มีผลกระทบน้อยที่สุดของระบบออกไป

2.4.2 การเกิดข้อบกพร่องขึ้นในระบบ หากใช้เวลาในการตัดข้อบกพร่องนานเกิดไปอาจจะส่งผลกระทบต่อให้แรงดันลดลง จนทำให้เกิดสภาวะการพังทลายได้ ดังนั้นในการออกแบบระบบต้องพิจารณาถึงส่วนสภาวะแรงดันพังทลายด้วย

2.4.3 ปริมาณและตำแหน่งของอุปกรณ์ชดเชยค่ากำลังไฟฟ้ารีแอคทีฟ กำลังไฟฟ้ารีแอคทีฟจากแหล่งกำเนิดจะส่งผ่านมาสู่โพลตเนื่องจากความสูญเสียในสายส่งในระหว่างการจ่ายกำลังไฟฟ้า เพราะฉะนั้นต้องขึ้นอยู่กับอุปกรณ์ชดเชยกำลังไฟฟ้ารีแอคทีฟซึ่งต้องมีปริมาณที่เพียงพอและอยู่ใกล้จุดที่เกิดแรงดันพังทลายด้วย

## 2.5 ตู้โดยสารรถไฟฟ้าขนส่งมวลชน

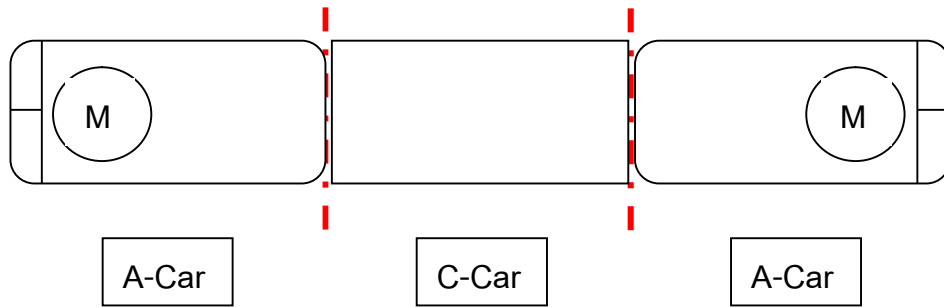
2.5.1 ตู้โดยสารรถไฟฟ้าขนส่งมวลชนของโครงการรถไฟฟ้าสายสีม่วง นำเข้ามาจากประเทศญี่ปุ่น ทำการผลิตโดยบริษัท J-Trec โดยมีรายละเอียดประกอบดังนี้



ภาพที่ 2.8 ตู้โดยสารรถไฟฟ้าขนส่งมวลชน

ตารางที่ 2.1 แสดงรายละเอียดของขบวนรถไฟฟ้าขนส่งมวลชน

ปีที่ผลิต (คศ.)	2016
ความกว้างฐานล้อ	1435 มม.
ขนาดตัวรถไฟฟ้า	ยาว 21340 x กว้าง 2998 x สูง 3885 มม.
ความเร็วสูงสุด	80 กม/ ชม.
ขนาดแรงดันไฟฟ้า	750 VDC, รับไฟฟ้าจากรางที่สาม
ชนิดมอเตอร์	IGBT Inverter control, AC Traction motors



ภาพที่ 2.9 องค์ประกอบของขบวนรถไฟฟ้าขนส่งมวลชน

2.5.2 สำหรับขบวนรถไฟฟ้าขนส่งมวลชนของโครงการรถไฟฟ้าสายสีม่วงใน 1 ขบวน จะประกอบไปด้วย 3 ตู้โดยสาร มี 2 รูปแบบได้แก่ตู้แบบ A และตู้แบบ C มีรายละเอียดดังนี้

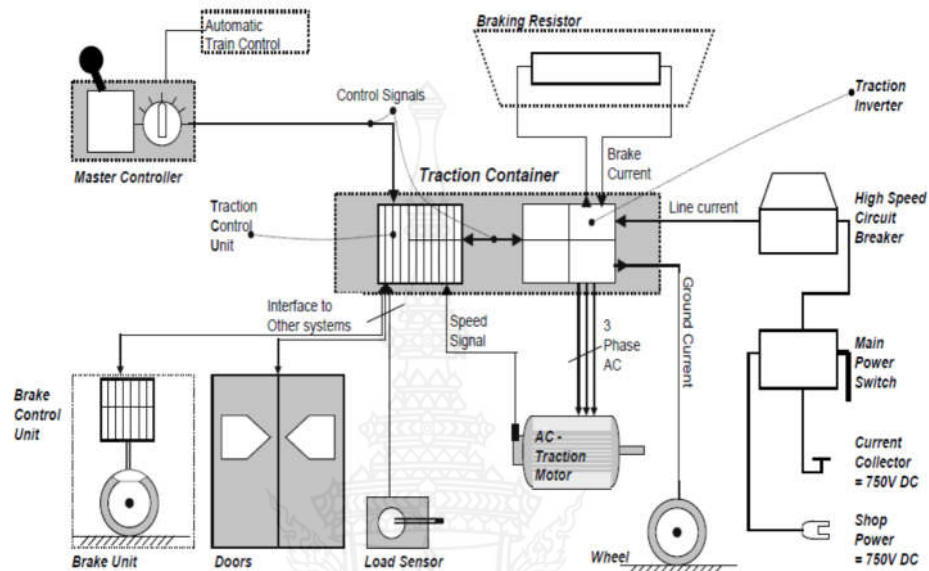
2.5.2.1 ตู้โดยสารแบบ A-Car จะมีด้วยกัน 2 ตู้โดยสารโดยจะอยู่ในตำแหน่ง ด้านหน้าและด้านหลังของขบวนรถ โดยภายในตู้โดยสารแบบ A-car จะมี ห้องคนขับรถไฟฟ้าและมอเตอร์ระบบขับเคลื่อนไฟฟ้าอยู่ด้วย

2.5.2.2 ตู้โดยสารแบบ C-Car ภายในนั้นจะไม่มีห้องคนขับและมอเตอร์ขับเคลื่อน แต่จะติดตั้งระบบแหล่งจ่ายพลังงานไฟฟ้า และระบบปรับอากาศ และ ระบบแสงสว่าง

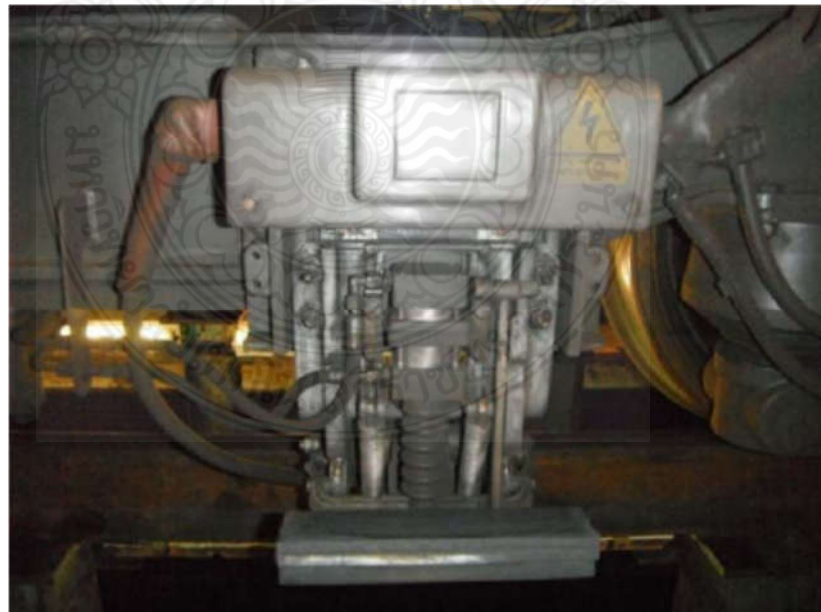


ภาพที่ 2.10 ขบวนรถไฟฟ้าขนส่งมวลชน โครงการรถไฟฟ้าสายสีม่วง

2.5.3 หลักการทำงานของขบวนรถไฟฟ้าขนส่งมวลชน จะรับแรงดันไฟฟ้ากระแสตรงขนาด 750 VDC เข้ามาที่ขบวนรถตู้ A ซึ่งจะอยู่ที่ด้านหัวและด้านท้ายของขบวนรถทั้งหมด จากนั้นทำการแปลงเป็นไฟฟ้ากระแสสลับ 3 เฟสสำหรับไปเลี้ยงตัวมอเตอร์ขับเคลื่อน และไปจ่ายให้กับระบบไฟฟ้าภายในขบวนรถ เช่นแอร์และหลอดไฟ เป็นต้น

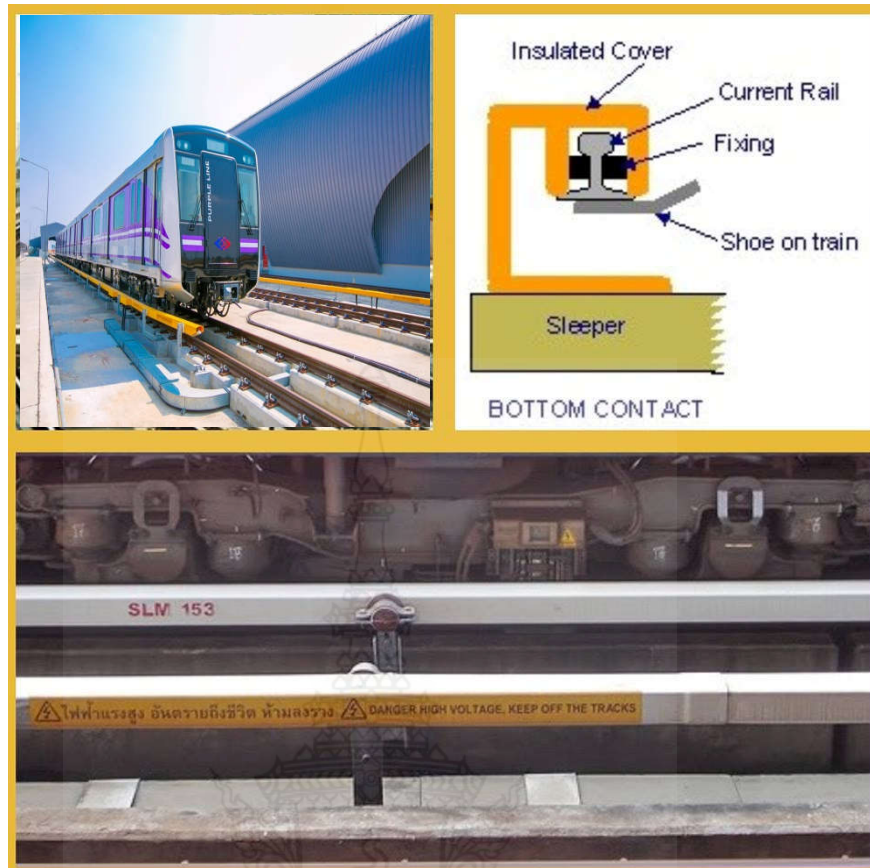


ภาพที่ 2.11 หลักการทำงานของขบวนรถไฟฟ้าขนส่งมวลชน



ภาพที่ 2.12 Collector shoe ทำหน้าที่รับกระแสไฟฟ้าจากรางที่สามมาที่ขบวนรถไฟฟ้าเพื่อใช้งานกับตัวมอเตอร์ขับเคลื่อนและใช้งานไฟฟ้าภายในขบวนรถ





ภาพที่ 2.13 รายละเอียดของรางที่สาม

2.6 ตู้โดยสารรถไฟฟ้าขนส่งมวลชนแอร์พอดลิงค์

2.6.1 ตู้โดยสารรถไฟฟ้าขนส่งมวลชนของโครงการรถไฟฟ้าแอร์พอดลิงค์ 2 รูปแบบ ได้แก่ แบบ City line มี 3 ตู้โดยสาร และแบบ Express line มี 3 ตู้โดยสารและ 1 ตู้สัมภาระ

**DESIRO Class 360/2**

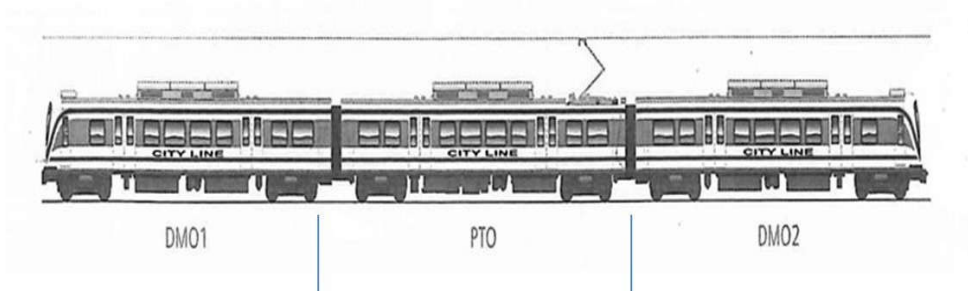
**CITY LINE**



**EXPRESS LINE**



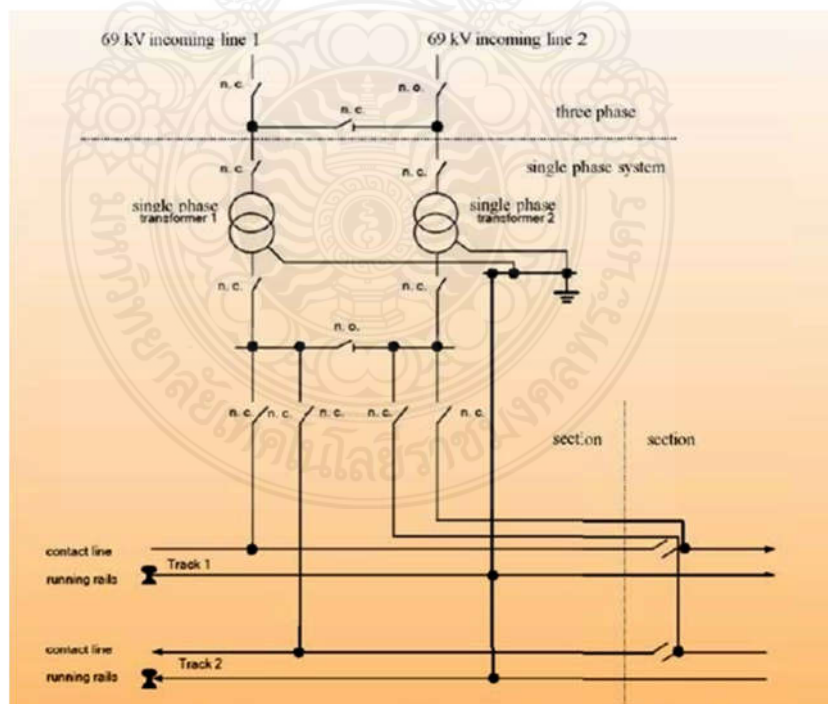
ภาพที่ 2.14 ตู้โดยสารรถไฟฟ้าแอร์พอดลิงค์



ภาพที่ 2.15 องค์ประกอบของขบวนรถไฟฟ้าแอร์พอดลิงค์

2.6.2 ขบวนรถไฟฟ้าขนส่งมวลชนของโครงการรถไฟฟ้าแอร์พอดลิงค์ 1 ขบวน จะประกอบไปด้วย 3 ตู้โดยสารแบบ A และแบบ C คล้ายกับรูปแบบรถไฟฟ้ามหานคร คือตู้แรกและตู้สุดท้ายจะเป็นตู้ที่ติดตั้งมอเตอร์ไฟฟ้าขับเคลื่อนไว้ส่วนตู้ตรงกลางจะติดตั้งก้านแขนโทกราทำหน้าที่รับกระแสไฟฟ้าที่อยู่บนเส้นสายไฟด้านบนขบวนรถเพื่อนำมาใช้ภายในขบวน

ระบบการจ่ายไฟฟ้าให้กับโครงการรถไฟฟ้าแอร์พอดลิงค์ รางที่ 3 จะรับไฟฟ้ากระแสสลับแรงดัน 25 kV ผ่านตัวแขนโทกราฟเพื่อนำมาแปลงแรงดันและใช้งานภายในขบวนรถไฟฟ้า ดังแผนภาพที่ 2.14

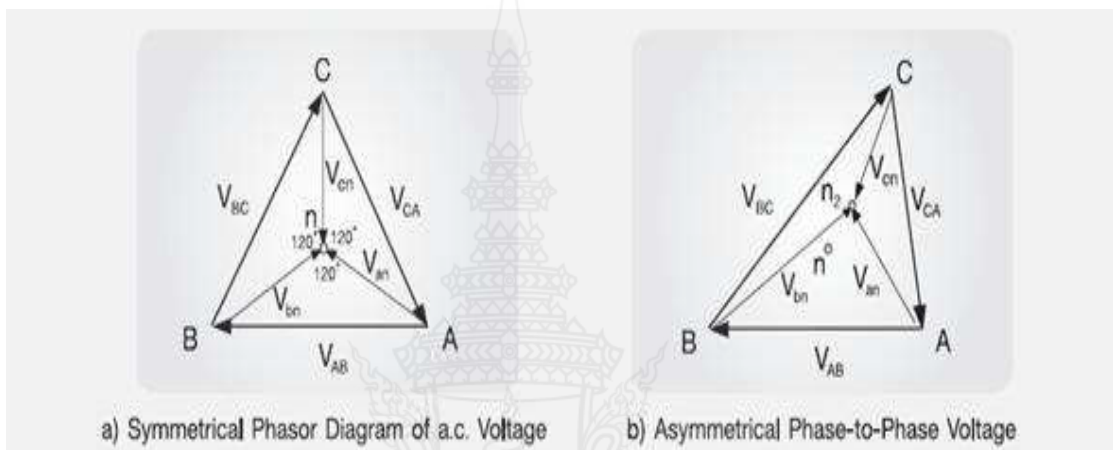


ภาพที่ 2.16 แผนผังการจ่ายไฟฟ้าให้โครงการรถไฟฟ้าแอร์พอดลิงค์

ที่มาของภาพ <http://lopeka-ee-room.blogspot.com/2014/10/bts-ac-25-kv-single-phase.html>

## 2.7 ความไม่สมดุลของระบบไฟฟ้า

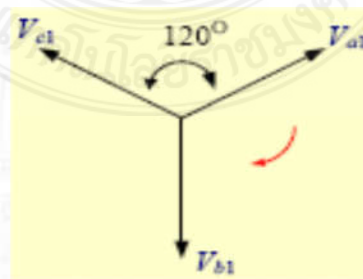
ความสมดุลของแรงดันไฟฟ้าเกิดจากแรงดันไฟฟ้ากระแสสลับ เมื่อเชื่อมต่อกับระบบไฟฟ้า 3 เฟสของการไฟฟ้าแล้วจะมีขนาดและมุมแต่ละเฟสเท่ากัน โดยแต่ละเฟสจะทำมุมห่างกัน 120 องศา แต่ถ้าหากขนาดและมุมในแต่ละเฟสมีขนาดไม่เท่ากันจะหมายถึงความไม่สมดุลของระบบไฟฟ้า ซึ่งอาจส่งผลโดยตรงต่ออุปกรณ์ที่ใช้งาน เช่น มอเตอร์ไฟฟ้าสามเฟสภายในโรงงานเมื่อเกิดภาวะแรงดันไฟฟ้าไม่สมดุลจะมีกระแสไหลเข้ามอเตอร์เป็นจำนวนมากซึ่งจะไปต้านสนามแม่เหล็กส่งผลให้มอเตอร์ทำงานช้าลงและเกิดความร้อนสูง ซึ่งอาจทำให้มอเตอร์ได้รับความเสียหายได้



ภาพที่ 2.17 เฟสเซอร์ของแรงดันไฟฟ้าทั้งสามเฟสแบบสมดุลและแบบไม่สมดุล  
ที่มาของภาพ <http://eelabb.blogspot.com/p/lab9.html>

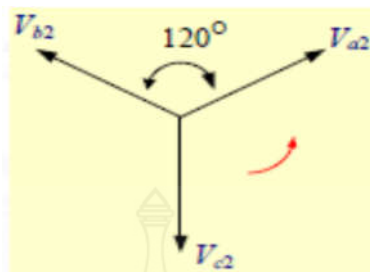
## 2.8 ส่วนประกอบสมมาตรของระบบไฟฟ้า 3 เฟส

2.8.1 ส่วนประกอบลำดับบวก (Positive - Sequence Component) หมายถึง ส่วนประกอบที่มีขนาดเท่ากันทั้ง 3 เฟส และมีมุมต่างกัน 120 องศา



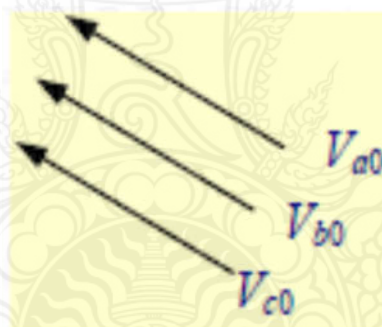
ภาพที่ 2.18 Positive Sequence Component  
ที่มาของภาพ <http://eng.rtu.ac.th/files/EP5A/CH7.pdf>

2.8.2 ส่วนประกอบลำดับลบ (Negative – Sequence Component) หมายถึง ส่วนประกอบที่มีขนาดและมุมต่างกัน 3 เฟส และมีมุมต่างกัน 120 องศา



ภาพที่ 2.19 Negative Sequence Component  
ที่มาของภาพ <http://eng.rtu.ac.th/files/EP5A/CH7.pdf>

2.8.3 ส่วนประกอบลำดับศูนย์ (Zero – Sequence Component) หมายถึง ส่วนประกอบที่มีขนาดเท่ากันทั้ง 3 เฟส และมีมุมต่างเฟสเท่ากับศูนย์



ภาพที่ 2.20 Zero Sequence Component  
ที่มาของภาพ <http://eng.rtu.ac.th/files/EP5A/CH7.pdf>

2.9 เปอร์เซนต์ตัวประกอบแรงดันไฟฟ้าไม่สมดุล (%VUF)

%VUF ย่อมาจาก Voltage Unbalance Factor ซึ่งถูกนิยามโดย IEC (International Electrotechnical Commission) สามารถคำนวณได้จากอัตราส่วนระหว่างแรงดันไฟฟาลำดับลบ (Negative Sequence Voltage) กับแรงดันไฟฟาลำดับบวก (Positive Sequence Voltage) ตามลำดับ โดยสามารถคำนวณค่าได้จากสมการ

$$\%VUF = \frac{V_{neg}}{V_{pos}} \times 100 \quad (3.1)$$

เมื่อ %VUF คือ ค่าตัวประกอบความไม่สมดุลแรงดันไฟฟ้า  
 $V_{POS}$  คือ แรงดันไฟฟ้าสมมาตรลำดับเฟสบวก  
 $V_{NEG}$  คือ แรงดันไฟฟ้าสมมาตรลำดับเฟสลบ

ตารางที่ 2.2 ค่าตามมาตรฐาน (IEEE 1159-2009)

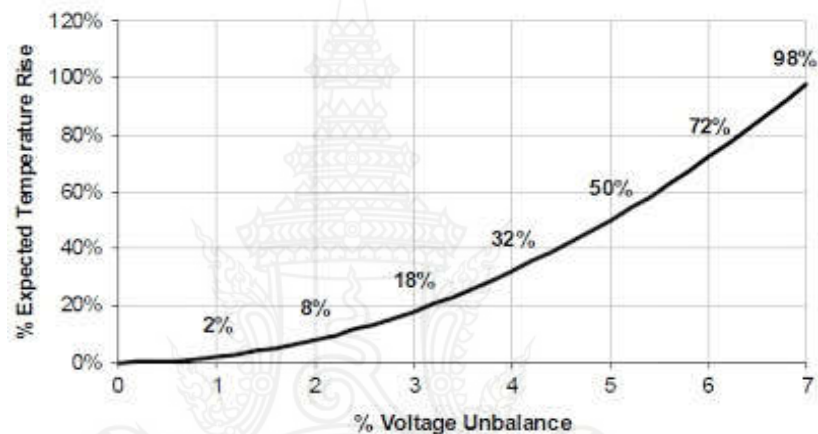
Categories	Typical spectral content	Typical duration	Typical voltage magnitude
1.0 Transients			
1.1 Impulsive			
1.1.1 Nanosecond	5 ns rise	< 50 ns	
1.1.2 Microsecond	1 $\mu$ s rise	50 ns–1 ms	
1.1.3 Millisecond	0.1 ms rise	> 1 ms	
1.2 Oscillatory			
1.2.1 Low frequency	< 5 kHz	0.3–50 ms	0–4 pu
1.2.2 Medium frequency	5–500 kHz	20 $\mu$ s	0–8 pu
1.2.3 High frequency	0.5–5 MHz	5 $\mu$ s	0–4 pu
2.0 Short duration variations			
2.1 Instantaneous			
2.1.1 Sag		0.5–30 cycles	0.1–0.9 pu
2.1.2 Swell		0.5–30 cycles	1.1–1.8 pu
2.2 Momentary			
2.2.1 Interruption		0.5 cycles–3 s	< 0.1 pu
2.2.2 Sag		30 cycles–3 s	0.1–0.9 pu
2.2.3 Swell		30 cycles–3 s	1.1–1.4 pu
2.3 Temporary			
2.3.1 Interruption		3 s–1 min	< 0.1 pu
2.3.2 Sag		3 s–1 min	0.1–0.9 pu
2.3.3 Swell		3 s–1 min	1.1–1.2 pu
3.0 Long duration variations			
3.1 Interruption, sustained		> 1 min	0.0 pu
3.2 Undervoltages		> 1 min	0.8–0.9 pu
3.3 Overvoltages		> 1 min	1.1–1.2 pu
4.0 Voltage imbalance		steady state	0.5–2%
5.0 Waveform distortion			
5.1 DC offset		steady state	0–0.1%
5.2 Harmonics	0–100th H	steady state	0–20%
5.3 Interharmonics	0–6 kHz	steady state	0–2%
5.4 Notching		steady state	
5.5 Noise	broad-band	steady state	0–1%
6.0 Voltage fluctuations	< 25 Hz	intermittent	0.1–7%
7.0 Power frequency variations		< 10 s	

ที่มา <http://www.powerqualityworld.com/2011/03/power-quality-problems.html>

## 2.10 ผลกระทบจากการเกิดความไม่สมดุลของแรงดันไฟฟ้า

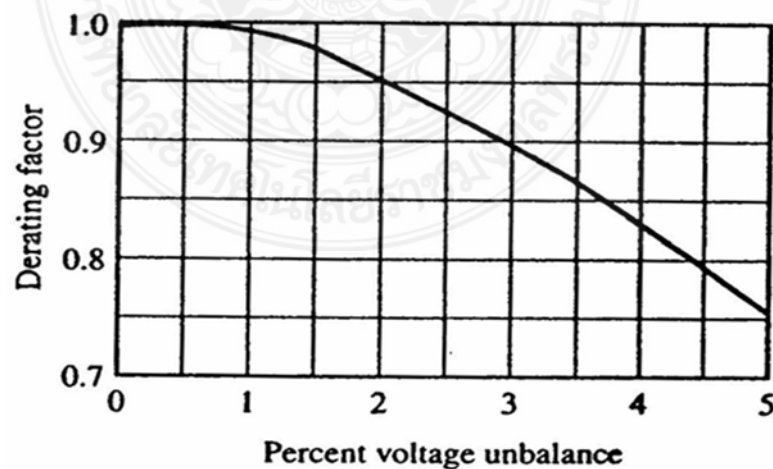
ตามมาตรฐาน IEEE 1159-2009 มีการกำหนดเปอร์เซ็นต์ค่าของแรงดันไฟฟ้าไม่สมดุลว่ามีค่าระหว่าง 0.5% ขึ้นไปแต่มีค่าไม่เกิน 2% โดยสามารถดูได้ที่ ตารางที่ 2.2 ตามหลักแล้วจะมีการกำหนดข้อมูลไว้ว่าหากแรงดันไฟฟ้าไม่สมดุลมีเกิดขึ้นเกิน 2% ขึ้นไปนั้นผู้ใช้งานจะต้องลดขนาดพิกัด

มอเตอร์ลง ยกตัวอย่างเช่น หากเกิดแรงดันไม่สมดุล 1% สามารถใช้งานมอเตอร์ได้ตามปกติ แต่หากแรงดันไม่สมดุลเพิ่มขึ้นเป็น 3% จะต้องลดขนาดพิกัดของมอเตอร์ลงเหลือ 90% ของขนาดพิกัดปกติ แต่ถ้าแรงดันไม่สมดุลเพิ่มขึ้นเป็น 5% ก็จะต้องทำการลดพิกัดของมอเตอร์ไฟฟ้าสามเฟสลงมาอีก ซึ่งโดยปกติแล้วไม่ควรใช้งานมอเตอร์ต่อถ้าหากแรงดันไม่สมดุลอยู่ที่ 5% เนื่องจากอาจจะทำให้มอเตอร์ไฟฟ้าสามเฟสเกิดความเสียหายได้ เพราะแรงดันไฟฟ้าไม่สมดุลจะมีผลกระทบต่อตัวมอเตอร์ไฟฟ้าสามเฟสทำให้เกิดความร้อนขึ้นภายใน โดยเป็นผลมาจาก Negative Sequence Current ไหลเข้าตัวมอเตอร์ไฟฟ้าเป็นจำนวนมากทำให้แรงบิดของมอเตอร์ทำงานได้ไม่เต็มประสิทธิภาพเพราะมีสนามแม่เหล็กมาตัดผ่านด้านการทำงานปกติ หากปล่อยไปเรื่อยๆก็อาจทำให้เกิดความเสียหายขึ้นกับมอเตอร์ไฟฟ้านำมาใช้งานได้ ดังแสดงในกราฟภาพที่ 2.20



ภาพที่ 2.21 Relationship between % imbalance and Temperature rise

ที่มาของภาพ <http://www.powerqualityworld.com/voltage-imbalance-power-quality-basics.html>



ภาพที่ 2.22 กราฟสมรรถนะของมอเตอร์ที่ลดลงเนื่องจากแรงดันไม่สมดุล

- 2.11 วิธีลดผลกระทบหรือความเสี่ยงจากการเกิดความไม่สมดุลของแรงดันไฟฟ้า
- 2.11.1 การจัดการอุปกรณ์ไฟฟ้าชนิดหนึ่งเฟสให้สมดุลกันทั้งสามเฟส
  - 2.11.2 พิจารณาตู้โหลดชนิดหนึ่งเฟสที่มีขนาดใหญ่มาใช้เป็นสามเฟสแทน
  - 2.11.3 ตรวจสอบชุดควบคุมแรงดันไฟฟ้าให้มีความสัมพันธ์กันทั้งสามเฟส
  - 2.11.4 หมั่นเช็คบริเวณขั้วหรือจุดเชื่อมต่อไฟฟ้าของอุปกรณ์ให้มีความแน่นหนา และอยู่ในสภาพดีอยู่เสมอ

2.12 หม้อแปลงไฟฟ้าภายในห้อง Traction Substation

หม้อแปลงไฟฟ้าของสถานีไฟฟ้าขับเคลื่อนถือเป็นส่วนที่มีความสำคัญ เพราะเป็นส่วนหนึ่งที่ต้องดำเนินการให้บริการในการเดินรถไฟฟ้า หม้อแปลงไฟฟ้าสามเฟสประกอบไปด้วยสองด้านคือด้านปฐมภูมิที่ทำหน้าที่รับกระแสไฟฟ้าแรงดันสูงเข้ามาก่อนทำการลดแรงดันลงเป็นแรงดันต่ำในด้านทุติยภูมิ ในขณะที่เดียวกันหม้อแปลงก็อาจจะทำหน้าที่เพิ่มแรงดันได้ด้วยเช่นกันโดยกระแสไฟฟ้าแรงดันต่ำเข้ามาทางด้านปฐมภูมิและเพิ่มแรงดันออกมาทางด้านทุติยภูมิ

หม้อแปลงไฟฟ้าประกอบไปด้วยสิ่งสำคัญ 3 ส่วน ได้แก่

- 1) Core หรือแกน มีลักษณะเป็นแผ่นบางๆถูกเคลือบด้วยฉนวนเรียงต่อกันเรียกว่าแผ่นลามิเนต
- 2) ขดลวดตัวนำ (Winding) ลักษณะเป็นขดลวดทองแดงหรืออลูมิเนียมถูกหุ้มด้วยฉนวนไว้ ภายในหม้อแปลงไฟฟ้าจะประกอบไปด้วยขดลวด 2 ชนิดได้แก่ ขดลวดด้านปฐมภูมิ (Primary winding) และขดลวดด้านทุติยภูมิ (Secondary winding)
- 3) ฉนวน (Insulation) มีหน้าที่สำคัญคือป้องกันไม่ให้ขดลวดของหม้อแปลงสัมผัสถูกส่วนที่เป็นแกนเหล็ก และป้องกันไม่ให้ขดลวดแต่ละด้านสัมผัสถึงกันได้

หม้อแปลงไฟฟ้าที่มีการใช้งานในประเทศไทยตอนนี้แบ่งออกได้เป็น 2 อย่างได้แก่ หม้อแปลงไฟฟ้าชนิด 1 เฟส (Single Phase Transformer) และหม้อแปลงไฟฟ้าชนิด 3 เฟส (Three Phase Transformer)

- 1) หม้อแปลงไฟฟ้าชนิด 1 เฟส ประกอบไปด้วยขดลวดด้านปฐมภูมิ 1 ชุด และขดลวดด้านทุติยภูมิ 3 ชุด ใช้กับระบบไฟฟ้า 1 เฟส ดังภาพที่ 2.21



ภาพที่ 2.23 Single Phase Transformer

ที่มาของภาพ <https://sites.google.com/site/pranget58/home/chnwn/chnid-khxng-hmxpaelngfi-fa>

2) หม้อแปลงไฟฟ้าชนิด 3 เฟส ประกอบไปด้วยขดลวดด้านปฐมภูมิจำนวน 3 ชุด และขดลวดด้านทุติยภูมิจำนวน 3 ชุด โดยระบบไฟฟ้า 3 เฟสจะถูกนำมาใช้งานภายในโรงงานอุตสาหกรรมหรือตามสถานประกอบการที่ต้องการกำลังไฟที่มีความเสถียรสูง ดังภาพที่ 2.22



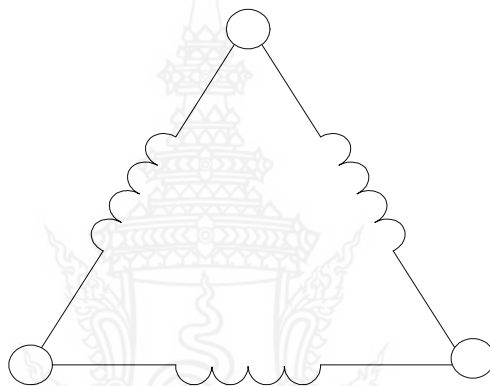
ภาพที่ 2.24 Three Phase Transformer

ที่มาของภาพ <https://sites.google.com/site/pranget58/home/chnwn/chnid-khxng-hmxpaelngfi-fa>

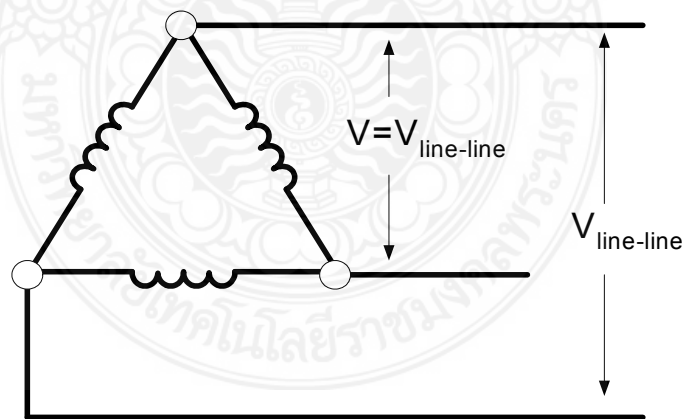


การต่อหม้อแปลงไฟฟ้าเข้ากับระบบไฟฟ้าสามเฟส จะมีวิธีการเข้าขดลวดในด้านปฐมภูมิ และด้านทุติยภูมิแบ่งออกเป็น 2 แบบ ได้แก่ การต่อแบบวายหรือสตาร์ (Wye or Star connection) หรือการต่อแบบเดลต้า (Delta connection)

1) การต่อแบบเดลต้า (Delta Connection) ขดลวดจะต่อเข้าด้วยกันเป็นแบบอนุกรมวงจรปิด โดยต่อขั้วด้านปลายของหม้อแปลงตัวที่ 1 เข้าที่ขั้วด้านต้นของหม้อแปลงตัวที่ 2, จากนั้นต่อขั้วด้านปลายของหม้อแปลงตัวที่ 2 เข้าที่ขั้วด้านต้นของหม้อแปลงตัวที่ 3, ต่อขั้วด้านปลายของหม้อแปลงตัวที่สามเข้ากับขั้วด้านต้นของหม้อแปลงตัวที่ 1 โดยจุดต่อรวมทั้ง 3 จะต่อเข้ากับแหล่งจ่ายไฟ การต่อขดลวดแบบเดลต้าแสดงดังภาพที่ 2.23



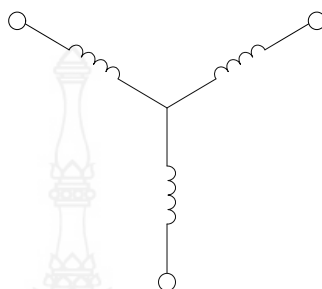
ภาพที่ 2.25 การเชื่อมต่อแบบเดลต้า



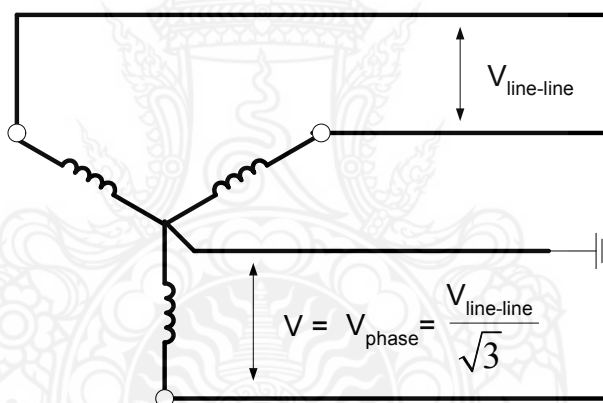
ภาพที่ 2.26 แรงดันไฟฟ้าที่ต่อในแต่ละขดลวดแบบเดลต้า

การต่อหม้อแปลงไฟฟ้าแบบเดลต้า ควรทำการตรวจสอบขั้ว Polarity ของขดลวดแต่ละเฟส ก่อนการนำไปใช้งาน เนื่องจากถ้าลำดับขั้วเฟสใดเฟสหนึ่งมีการต่อไม่ถูกต้องก็จะทำให้เกิดกระแสไหลผ่านที่ขั้วนั้นสูง

2) การต่อแบบวายหรือสตาร์ (Wye or Star Connection) แรงดันไฟฟ้าที่ตกคร่อมระหว่างขดขดทั้งสองเส้น (V<sub>line-line</sub>) จะมีขนาดเท่ากับแรงดันไฟฟ้าในระบบสามเฟส ส่วนแรงดันไฟฟ้าที่ตกคร่อมระหว่างขดลวดแต่ละเส้นกับสายนิวทรัลจะมีขนาดเท่ากับเศษหนึ่งส่วนรากที่สองของสามของแรงดันระหว่างขดลวดสองเส้น การต่อแบบสตาร์แสดงดังรูปที่ 2.25 และแสดงค่าแรงดันไฟฟ้าที่ต่อในแต่ละขดลวดดังรูปที่ 2.26



ภาพที่ 2.27 การเชื่อมต่อแบบสตาร์



ภาพที่ 2.28 แรงดันไฟฟ้าที่ต่อในแต่ละขดลวดแบบสตาร์

การรับแรงดันไฟฟ้าสามเฟสจากการไฟฟ้าเพื่อมาใช้งานภายในโครงการฯ ไฟฟ้าแรงสูงที่มีการใช้งานทั่วไปอยู่ในประเทศไทย ได้แก่แรงดัน 115kV และแรงดัน 69kV สำหรับสถานีไฟฟ้าที่มีการติดตั้งหม้อแปลงเพื่อแปลงแรงดันเรียกว่า อาคารไฟฟ้าประธาน มีหน้าที่รับแรงดัน 69 kV จากการไฟฟ้าก่อนจะถูกนำมาลดแรงดันลงเหลือ 25kV ความถี่ 50 Hz และนำไปใช้งานในระบบสายส่งของรถไฟฟ้าแอร์พอดลิงค์ต่อไป

ชนิดการต่อของหม้อแปลงไฟฟ้า 3 เฟส จะมีวิธีการต่อหม้อแปลงเพื่อใช้งานในวิธีที่ต่างกััน และให้คุณสมบัติที่ต่างกัน โดยสามารถแบ่งออกได้เป็น 4 รูปแบบ ดังตารางที่ 2.3 นอกจากนี้ยังมีรหัสมาตรฐานการต่อขดลวดในหม้อแปลงไฟฟ้า 3 เฟส ดังตารางที่ 2.4

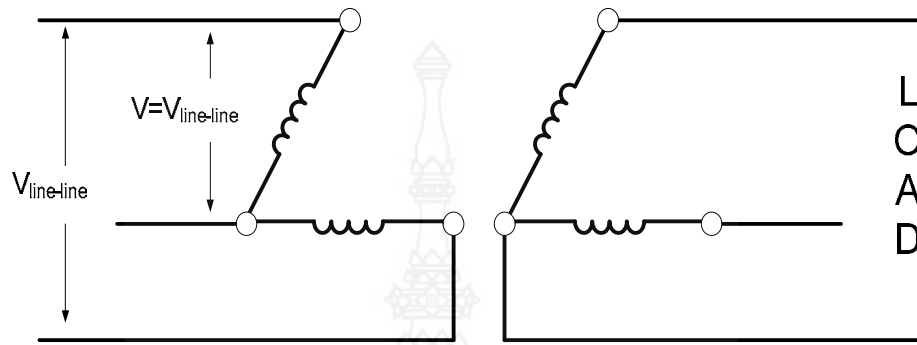
ตารางที่ 2.3 การต่อหม้อแปลงไฟฟ้า 3 เฟส และการนำไปใช้งาน

ข้อที่	ด้านปฐมภูมิ	ด้านทุติยภูมิ	การนำไปใช้งาน
1	เดลต้า	เดลต้า	ใช้ในงานอุตสาหกรรม
2	เดลต้า	สตาร์	ใช้งานทั่วไป และใช้ในงานอุตสาหกรรม
3	สตาร์	เดลต้า	ใช้ในระบบสายส่งแรงสูง
4	สตาร์	สตาร์	มีการใช้งานน้อย เนื่องจากปัญหาฮาโมนิกส์

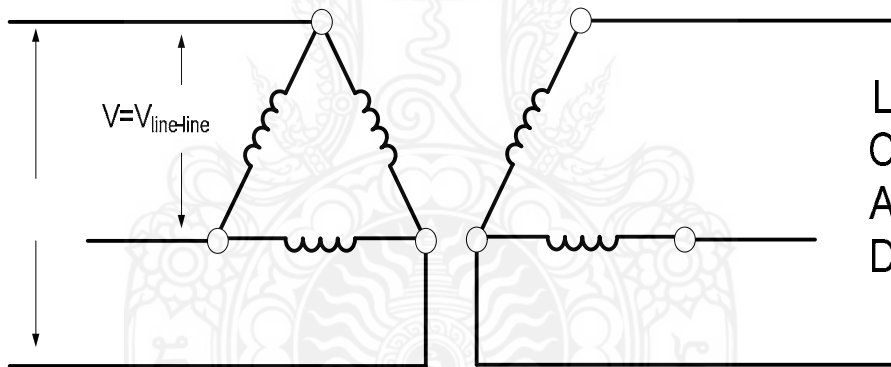
ตารางที่ 2.4 มาตรฐานการต่อขดลวดในหม้อแปลงไฟฟ้า 3 เฟส

Code	Connection	Symbols		Connections	
		Primary winding	Secondary winding	Primary winding	Secondary winding
0	Dd0				
	Yy0				
	Dz0				
5	Dy5				
	Yd5				
	Yz5				
6	Dd6				
	Yy6				
	Dz6				
11	Dy11				
	Yd11				
	Yz11				

นอกจากนี้ยังมีการต่อหม้อแปลงแบบเดลต้า - เดลต้าเปิดหนึ่งด้าน และแบบเดลต้าเปิดหนึ่งด้าน - เดลต้าเปิดหนึ่งด้าน ซึ่งเหมาะที่จะใช้กับระบบที่มีการจ่ายโหลดไฟฟ้าลดลง เช่น โหลดในระบบมีปริมาณลดลงอันเนื่องมาจากการถอดอุปกรณ์ไฟฟ้าออกบางตัว หรือการใช้หม้อแปลงขนาดเท่าเดิมจะส่งผลในเรื่องกำลังสูญเสียที่มากเกินไปก็อาจลดขนาดของหม้อแปลงก็อาจต่อหม้อแปลงแบบเดลต้าเปิดหนึ่งด้านทำให้ลดการสูญเสียกำลังที่ขดลวดได้



ภาพที่ 2.29 การต่อแบบเดลต้าเปิดหนึ่งด้าน - เดลต้าเปิดหนึ่งด้าน



ภาพที่ 2.30 การต่อแบบเดลต้า - เดลต้าเปิดหนึ่งด้าน

ตารางที่ 2.5 กำลังไฟฟ้าที่สามารถส่งผ่านได้จากการเชื่อมต่อแบบเดลต้าเปิดหนึ่งด้าน

ปฐมภูมิ	ทุติยภูมิ	กำลังไฟฟ้าที่ส่งผ่านได้
เดลต้าเปิด 1 ด้าน	เดลต้าเปิด 1 ด้าน	87 % ของพิกัดกำลังไฟฟ้าหม้อแปลงไฟฟ้า 2 ชุดที่นำมาต่อ
เดลต้า	เดลต้าเปิด 1 ด้าน	58 % ของพิกัดกำลังไฟฟ้าหม้อแปลงไฟฟ้า 3 ชุดที่นำมาต่อ

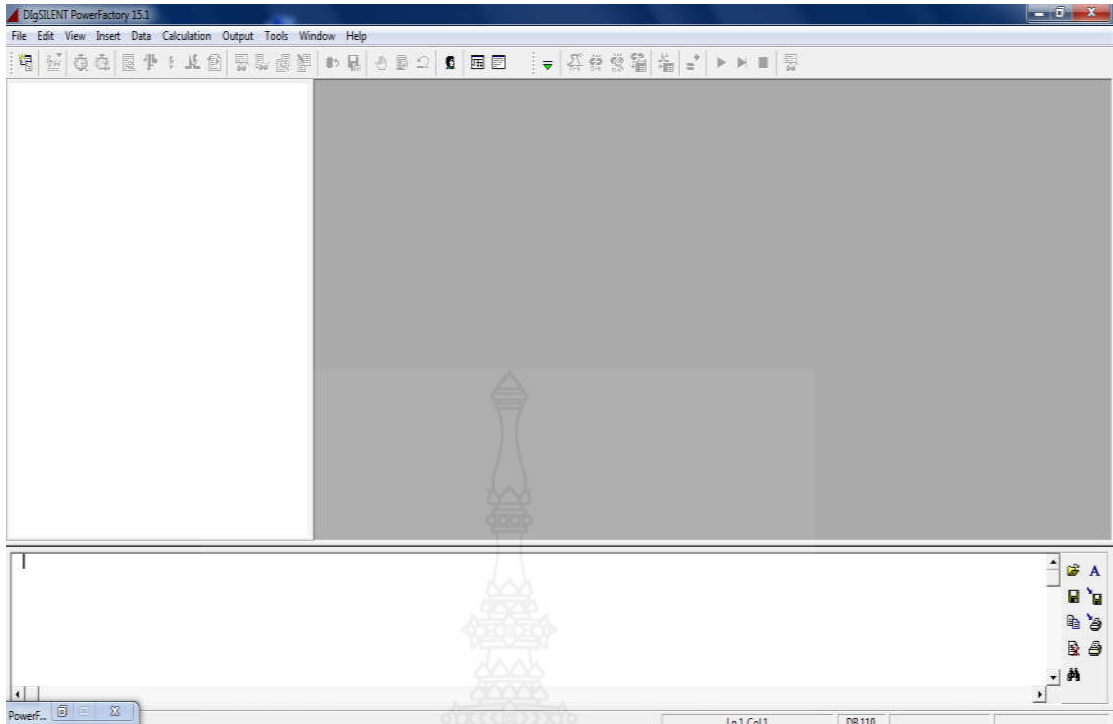
## 2.13 โปรแกรม Digsilent Power Factory

โปรแกรม Digsilent Power Factory เป็นโปรแกรมที่ใช้ในการตรวจสอบและประเมินค่าในระบบไฟฟ้ากำลัง สามารถป้อนข้อมูลเข้าไปได้ด้วยรูปภาพและ Text File นอกจากนี้ตัวโปรแกรมยังสามารถใช้ศึกษาได้ทั้งระบบการผลิต ระบบสายส่ง หรือระบบการจำหน่าย สำหรับภาคอุตสาหกรรมได้ โปรแกรม Digsilent Power Factory มีส่วนประกอบดังนี้

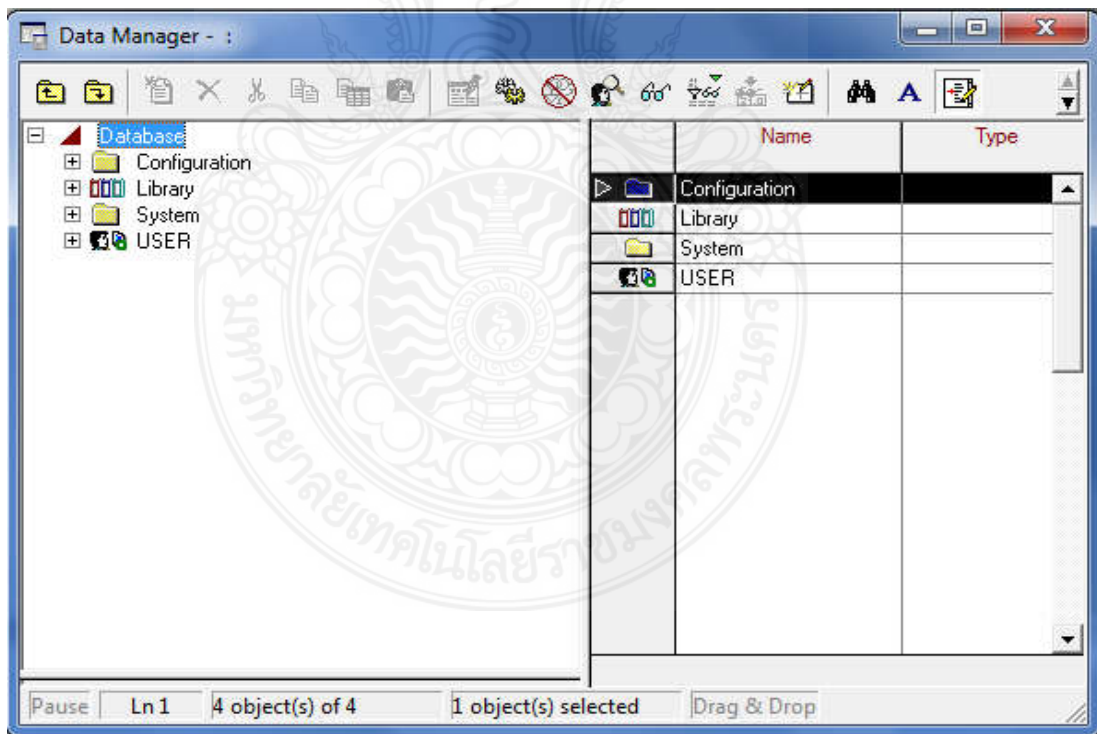
### 2.13.1 ความสามารถของโปรแกรม Digsilent Power Factory

- Load Flow and Fault Analysis of complete AC/ DC network representation, meshed & mixed 1, 2 and 3 phase AC and/or DC networks
- Low Voltage Network Analysis
- Distribution Network Optimization
- IEC Cable Sizing
- Dynamic Simulation
- EMT Simulation
- Eigen value Analysis
- System Identification
- Protection Analysis
- Harmonic Analysis
- Reliability
- Production Planning
- Voltage Stability Analysis
- Contingency Analysis
- Power Electronic Device Modeling
- DPL User Script
- A/D Interfacing
- DOLE Interface for SCADA/GIS
- PSS/E & PSS/U Compatibility
- Multi-User Database
- Virtual Instruments

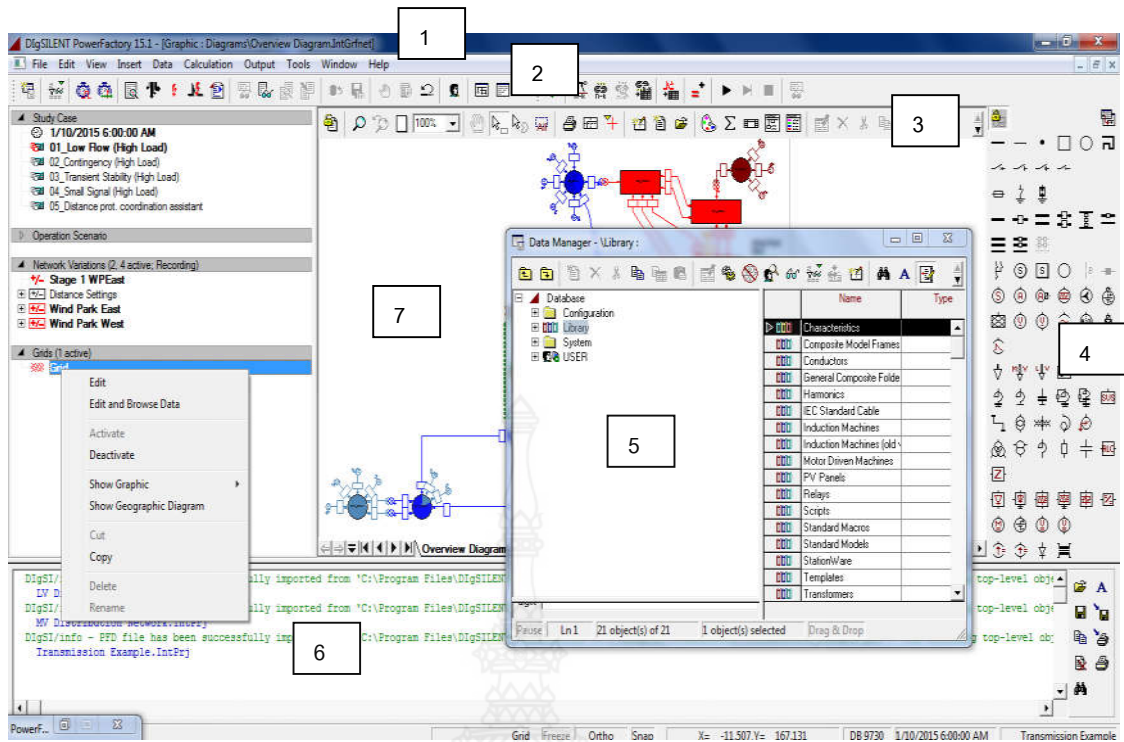
โปรแกรมนี้แสดงให้เห็นว่ามีความสามารถในการวิเคราะห์ประเมินสถานะของระบบไฟฟ้าทั้งแบบคงตัวและแบบชั่วคราวได้ โดยตัวโปรแกรม Digsilent Power Factory มีรูปแบบหน้าต่างการแสดงผลดังนี้



ภาพที่ 2.31 หน้าต่างของโปรแกรม Digilent Power Factory



ภาพที่ 2.32 หน้าต่างของ Data Manager ที่ใช้จัดเก็บข้อมูลต่างๆ



ภาพที่ 2.33 ส่วนประกอบต่างๆของโปรแกรม

### 2.13.2 ส่วนประกอบต่างๆในโปรแกรม Digsilent Power Factory มีดังนี้

- 1) Title bar
- 2) Menu bar
- 3) Main tool bar
- 4) Drawing tool bar
- 5) Data Manager Library
- 6) Output window
- 7) Workspace

### 2.14 ปุ่มใช้งานพื้นฐานในหน้าต่าง Main tool bar ประกอบด้วยข้อมูลดังนี้



**New Database Manager** เปิดหน้าต่าง Data Manager



**Calculate Load-Flow** คำนวณการไหลของกำลังไฟฟ้าในระบบตามที่มีอยู่ใน Study Case



**Calculate Short-Circuit** คำนวณกระแสลัดวงจรในระบบตามที่มีอยู่ใน Study Case



**Output Calculation Analysis** สำหรับเลือกรูปแบบการแสดงผลงานผลลัพธ์ที่ได้

จากการคำนวณ



**Documentation of Device Data** แสดงข้อมูลรายละเอียดเกี่ยวกับอุปกรณ์ไฟฟ้าทั้งหมดที่มีในระบบ



**Update database** เมื่อต้องการให้นำค่าการ Set ของอุปกรณ์ที่เปลี่ยนแปลงไป เนื่องจากการคำนวณไป Update ลงในฐานข้อมูล



**Reset Calculation** Reset ค่าที่ตั้งไว้สำหรับการคำนวณหลังจากการคำนวณครั้งล่าสุด



**Select ToolBar** เลือก Toolbar Group ที่ใช้รัน Stability, Data Acquisition, Harmonics, Optimal Capacitor Placement



**Freeze Mode** ตรึงหน้าจอการวาดกราฟฟิกไว้หลังจากวาดอุปกรณ์ต่างๆ แล้วเสร็จ ซึ่งจะทำให้ไม่สามารถแก้ไขรูปได้



**Graphic Options** สำหรับจัดการกับหน้าจอที่ใช้วาดกราฟฟิก เช่น แสดง/ไม่แสดง จุดกริด, Snap or Not, วาดเส้นตั้งฉากหรือไม่



**Show layer...** สำหรับเลือกชั้นข้อมูลต่างๆ ที่ต้องการให้แสดงบนหน้าจอกราฟฟิก เช่น Result, Object Name เป็นต้น



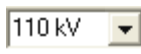
**Mark All Elements** เลือก (Select) อุปกรณ์ทุกตัวที่อยู่บนหน้าจอกราฟฟิก เช่น ต้องการ Move ทั้งระบบไปบริเวณอื่น เป็นต้น



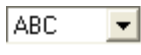
**Edit and Browse Data** แสดงข้อมูลที่ถูกเลือก (Selected) ในหน้าจอกราฟฟิก เพื่อให้ทำการแก้ไขข้อมูล



**Color Representation** เลือก Option ในการให้แสดงเฉดสีต่างๆ บนหน้าจอกราฟฟิก เช่น แสดงสีบริเวณที่ไม่มีการจ่ายไฟไปถึง




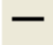

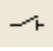








**Default voltage levels for Terminals and Busbars** เมื่อสร้างจุดโนด หรือ บัสในกราฟฟิก โปรแกรมจะนำค่าที่อยู่ใน Box นี้ไปเป็นค่าแรงดันของบัสนั้น



**Default Phase Technologies for Terminals** เมื่อสร้างจุดโนด หรือบัสในกราฟฟิก โปรแกรมจะนำค่าที่อยู่ใน Box นี้ไปเป็นค่าเฟสของบัสนั้น

● **Drawing Toolbar** ปุ่มอุปกรณ์พื้นฐานซึ่งใช้ในการสร้างแบบจำลองระบบไฟฟ้ามีดังนี้ (ดูเพิ่มเติมได้จาก Help)



-  Terminal ใช้สร้างจุดโนดซึ่งเป็นจุดเชื่อมต่อของอุปกรณ์ไฟฟ้า เช่น Bus ที่สถานีไฟฟ้า
-  Short Terminal ใช้สร้างจุดโนดซึ่งเป็นจุดเชื่อมต่อของอุปกรณ์ไฟฟ้า เช่น Bus ที่สถานีไฟฟ้า
-  Point Terminal ใช้สร้างจุดโนดซึ่งเป็นจุดเชื่อมต่อของอุปกรณ์ไฟฟ้า ในกรณีนี้มักใช้บริเวณที่เป็นทางแยก
-  Disconnecter ใช้สร้างสวิตช์ในสถานีไฟฟ้า หรือในระบบส่ง ระบบจำหน่าย
-  External Grid ใช้สร้างแหล่งจ่ายไฟของระบบ ได้แก่ Source จาก EGAT หรือจากสถานีไฟฟ้าของ PEA
-  General Load ใช้สร้างโหลดของระบบ
-  Shunt/Filter C ใช้สร้างคาปาซิเตอร์แบบต่อขนานระบบ
-  Line ใช้สร้างสายส่ง หรือสายจำหน่าย
-  Fuse ใช้สร้างฟิวส์ เช่น ฟิวส์ที่อยู่บริเวณ Line แยกของระบบจำหน่าย
-  2-Winding Transformer ใช้สร้างหม้อแปลงกำลังที่สถานีไฟฟ้า และหม้อแปลงจำหน่าย 22,33/0.4 kV
-  3-Winding Transformer ใช้สร้างหม้อแปลงกำลังที่สถานีไฟฟ้าแบบ 3 ขดลวดซึ่งมีอยู่ในบางพื้นที่
-  Auto Transformer ใช้สร้าง AVR หรือ Auto Voltage Regulator ในระบบจำหน่าย

## 2.15 สรุป

บทนี้ได้นำเสนอในส่วนของเนื้อหาต่างๆที่มีความเกี่ยวข้องในเรื่องของโครงการรถไฟฟ้า ทั้งโครงการรถไฟฟ้าที่ใช้แรงดันไฟฟ้าขับเคลื่อนกระแสตรง และโครงการรถไฟฟ้าขับเคลื่อนกระแสสลับ หม้อแปลงแรงดันไฟฟ้า ความไม่สมดุลของแรงดันไฟฟ้ากระแสสลับ เสถียรภาพทางไฟฟ้ากำลัง ซึ่งได้นำมาใช้เป็นแนวทางในการศึกษาถึงผลกระทบของแรงดันไฟฟ้าที่ไม่สมดุลจากการเชื่อมต่อหม้อแปลงไฟฟ้าในรูปแบบต่างๆว่าแบบใดที่ทำให้เกิดความไม่สมดุลสูงสุด รวมถึงการนำโปรแกรมคอมพิวเตอร์มาทดลองใช้สร้างวงจรทางไฟฟ้าขึ้นมาใช้งาน

### บทที่ 3

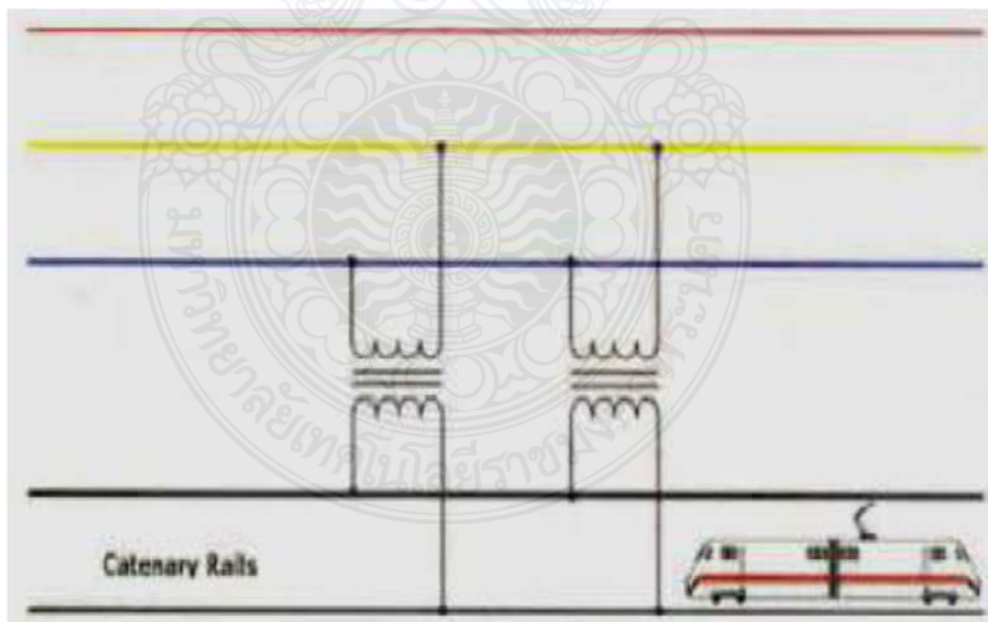
## แบบจำลองการเชื่อมต่อหม้อแปลงไฟฟ้า

ในบทนี้จะนำเสนอการเชื่อมต่อหม้อแปลงไฟฟ้าสำหรับใช้เชื่อมต่อที่ห้องหม้อแปลงไฟฟ้า ชั้นเคลื่อนกระแสสลับ 3 รูปแบบ ได้แก่การเชื่อมต่อแบบเฟสเดียว (Single - Phase Connection) การเชื่อมต่อแบบวี (V - Connection) การเชื่อมต่อแบบสกอตต์ (Scott - Connection) หรือการเชื่อมต่อแบบเลอบลอง (Leblanc - connection) มาใช้เพื่อทดสอบกับระบบรถไฟฟ้าแอร์พอดลิงค์ เพื่อศึกษาค่าของแรงดันไฟฟ้าไม่สมดุลจากการเชื่อมต่อหม้อแปลงไฟฟ้าแบบต่างๆผ่านค่าตัวประกอบ ความไม่สมดุลของแรงดันไฟฟ้า และการสร้างแบบจำลองหม้อแปลงด้วยโปรแกรม Digsilent

การเชื่อมต่อหม้อแปลงไฟฟ้าชั้นเคลื่อนกระแสสลับในระบบรถไฟฟ้าแอร์พอดลิงค์ แสดงได้ตามหัวข้อดังนี้

#### 3.1 การเชื่อมต่อหม้อแปลงไฟฟ้าแบบเฟสเดียว (Single - Phase Connection)

การเชื่อมต่อประเภทนี้ใช้การเชื่อมต่อหม้อแปลงไฟฟ้าของการไฟฟ้าในระบบ 3 เฟส แต่นำมาใช้งานแค่ 2 เฟส ซึ่งเป็นการใช้งานในเฟสเดียวกัน เช่น เฟส bc และ cb เป็นต้น

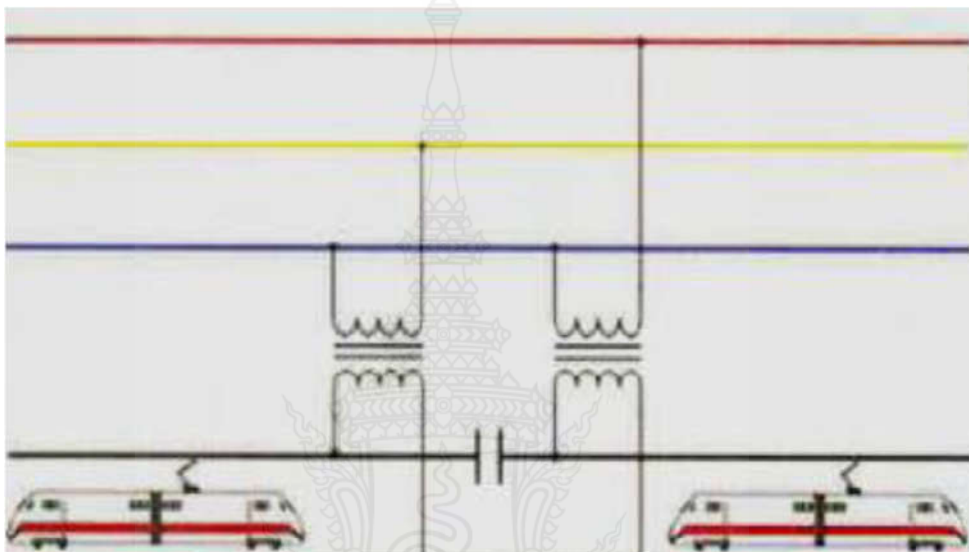


ภาพที่ 3.1 การเชื่อมต่อแบบเฟสเดียว

ที่มาของภาพ <http://www02.abb.com/PO+Vol.23.pdf>

### 3.2 การเชื่อมต่อหม้อแปลงไฟฟ้าแบบวี (V – Connection)

การต่อหม้อแปลงไฟฟ้ากระแสสลับแบบวีจะใช้หม้อแปลงไฟฟ้าจำนวน 2 ลูกมาต่อเข้ากับเฟสที่ต่างกัน เช่น เฟส ac กับเฟส cb เป็นต้น ทำให้แรงดันไฟฟ้ามีความสมดุลเพิ่มมากขึ้น แต่กรณีถ้าเกิดปัญหาเกี่ยวกับหม้อแปลงไฟฟ้าหนึ่งในสองลูกนี้ก็จะส่งผลให้หม้อแปลงอีกลูกต้องมาทำการจ่ายไฟฟ้าแทนในอีกส่วน และเมื่อเหลือหม้อแปลงอยู่เพียงหนึ่งลูกปัญหาก็จะกลับไปเหมือนหม้อแปลงเฟสเดียวซึ่งอาจจะทำให้เกิดแรงดันไฟฟ้าไม่สมดุลขึ้นได้

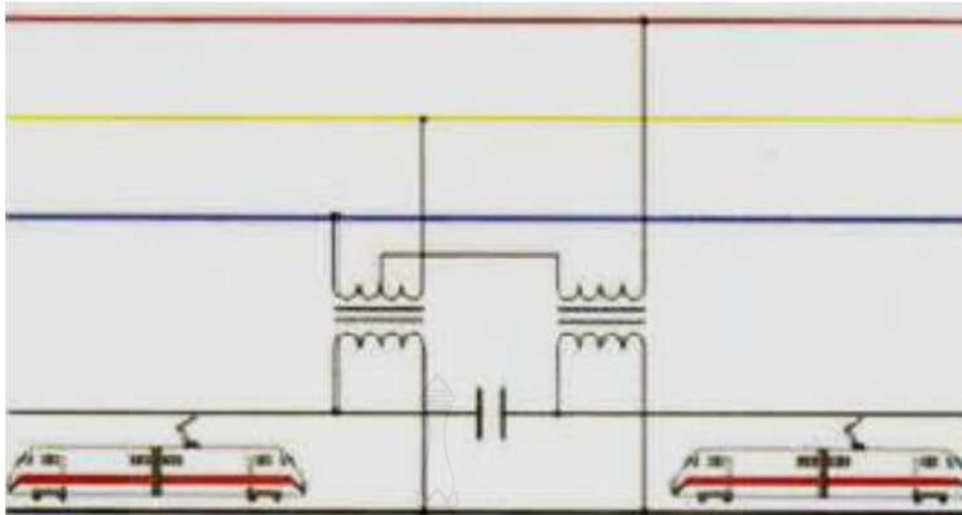


ภาพที่ 3.2 การเชื่อมต่อแบบวี

ที่มาของภาพ <http://www02.abb.com/PO+Vol.23.pdf>

### 3.3 การเชื่อมต่อแบบสกอตต์ (Scott - Connection)

การเชื่อมต่อรูปแบบนี้จะใช้หม้อแปลงจำนวน 2 ลูก โดยด้านปฐมภูมิจะถูกต่อเข้ากับระบบไฟฟ้า 3 เฟสของการไฟฟ้า และต่อเข้าหม้อแปลงหลักตัวที่หนึ่ง ส่วนหม้อแปลงตัวที่สองเป็นหม้อแปลงชนิดพิเศษขดลวดด้านปฐมภูมิหนึ่งด้านจะทำการแทนเข้ากับหม้อแปลงลูกที่หนึ่ง และอีกด้านต่อเข้ากับเฟสหนึ่งของการไฟฟ้า



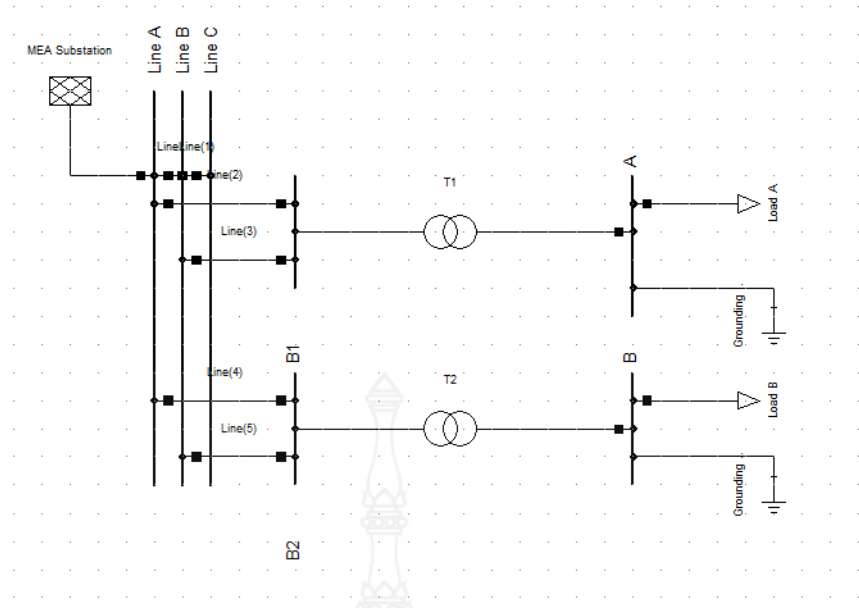
ภาพที่ 3.3 การเชื่อมต่อแบบสกอตต์  
ที่มาของภาพ <http://www02.abb.com/PO+Vol.23.pdf>

### 3.4 แบบจำลองหม้อแปลงไฟฟ้ากระแสสลับของสถานีขับเคลื่อน

ในวิทยานิพนธ์ฉบับนี้ได้ นำแบบจำลองการเชื่อมต่อหม้อแปลงไฟฟ้าในสถานีไฟฟ้าขับเคลื่อนมาแสดงจำนวน 4 รูปแบบ ได้แก่ การเชื่อมต่อหม้อแปลงไฟฟ้าแบบเฟสเดียว (Single – phase connection) การเชื่อมต่อหม้อแปลงไฟฟ้าแบบวี (V – connection) การเชื่อมต่อหม้อแปลงไฟฟ้าแบบสกอตต์ (Scott – connection) และการเชื่อมต่อหม้อแปลงไฟฟ้าแบบเลอบลอง เพื่อนำมาประเมินว่าการเชื่อมต่อรูปแบบใดที่ทำให้ค่าแรงดันไฟฟ้าไม่สมดุลสูงที่สุด และวิเคราะห์โครงสร้างของวงจรโดยใช้โปรแกรม Digsilent Power Factory

#### 1) แบบจำลองการเชื่อมต่อหม้อแปลงไฟฟ้าแบบเฟสเดียว (Single – phase connection)

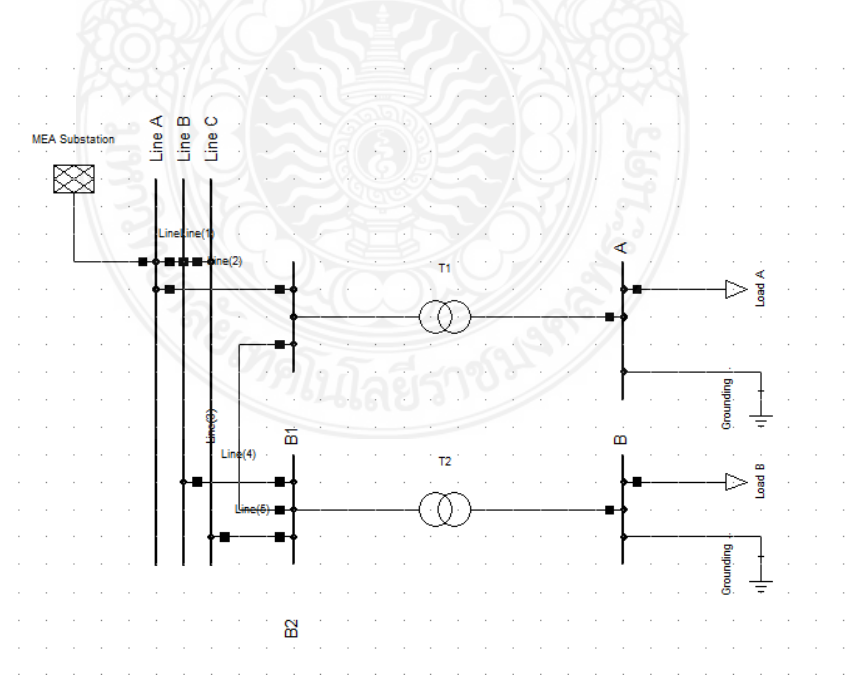
การต่อหม้อแปลงไฟฟ้าแบบเฟสเดียว ประกอบไปด้วยหม้อแปลงไฟฟ้า 1 เฟส จำนวน 2 ลูก หม้อแปลงลูกที่หนึ่งและลูกที่สองประกอบไปด้วยด้าน Primary ที่ต่อกับแหล่งจ่ายของการไฟฟ้าในเฟสเดียวกัน และด้าน Secondary เชื่อมต่อกับโหลด



ภาพที่ 3.4 การเชื่อมต่อแบบเฟสเดียวจากโปรแกรม Digsilent Power Factory

2) แบบจำลองการเชื่อมต่อหม้อแปลงแบบสกอตต์ (Scott - Connection)

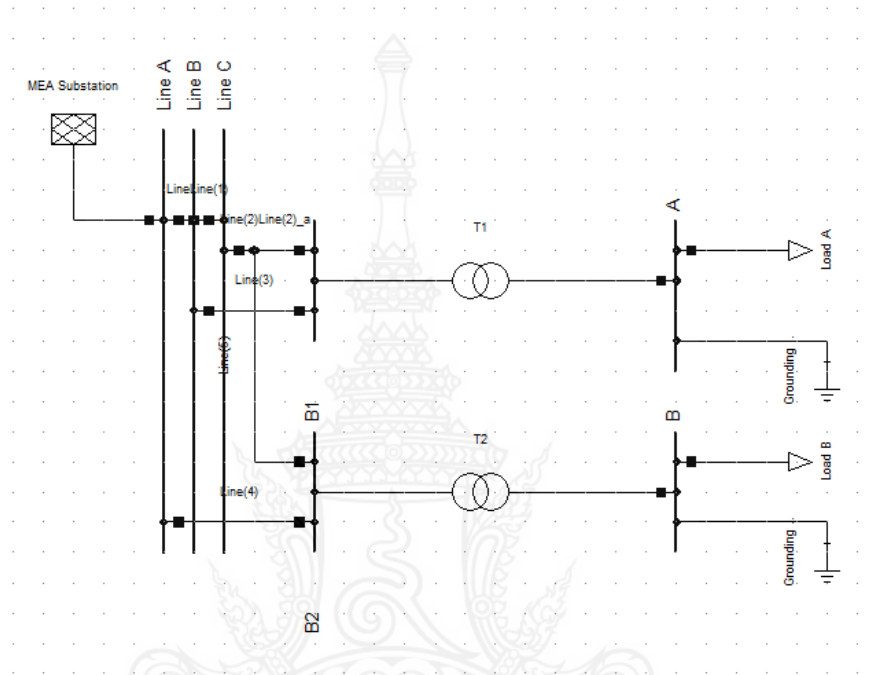
การต่อหม้อแปลงแบบสกอตต์ ประกอบด้วยหม้อแปลงไฟฟ้า 1 เฟส จำนวน 2 ลูก ในแต่ละลูกจะมีขดลวดด้าน Primary และ Secondary อย่างละ 1 ขด แต่หม้อแปลงลูกที่สองเป็นหม้อแปลงชนิดมีแทปกกลาง ด้านปฐมภูมิของหม้อแปลงลูกที่หนึ่งเชื่อมต่อกับเฟส a และด้านแทปกกลาง ส่วนหม้อแปลงลูกที่สองเชื่อมต่อกับเฟส b-c



ภาพที่ 3.5 การเชื่อมต่อแบบสกอตต์จากโปรแกรม Digsilent Power Factory

### 3) แบบจำลองการเชื่อมต่อหม้อแปลงไฟฟ้าแบบวี (V – connection)

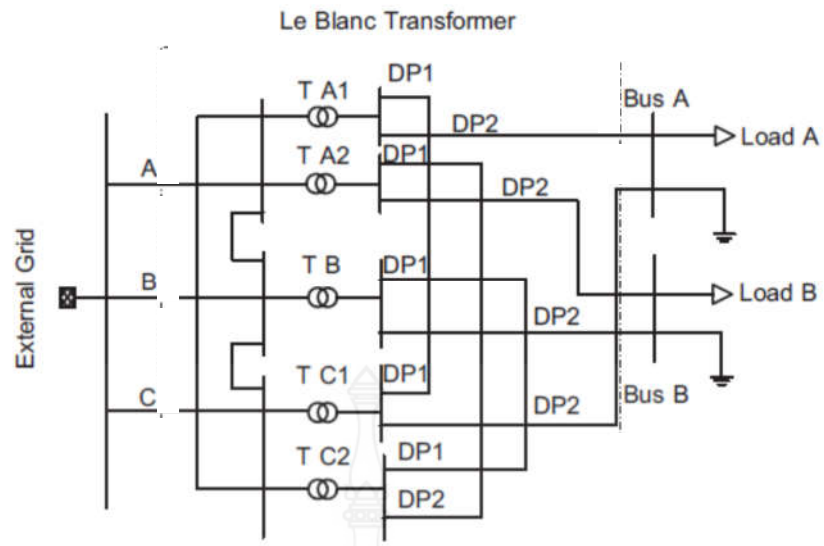
การเชื่อมต่อหม้อแปลงไฟฟ้าแบบวีถูกพัฒนาขึ้นมาจากการเชื่อมต่อหม้อแปลงชนิดหนึ่งเฟส การเชื่อมต่อแบบวีประกอบด้วยหม้อแปลงไฟฟ้า 1 เฟส จำนวน 2 ลูก ในหม้อแปลงแต่ละลูกจะมีขดลวดด้านปฐมภูมิ และด้านทุติยภูมิอย่างละ 1 ขด หม้อแปลงลูกที่ 1 จะต่อคู่เฟส c-b ส่วนหม้อแปลงลูกที่ 2 จะต่อคู่เฟส a-c หรือเรียกว่าการต่อกันแบบเดลต้าเปิด 1 ด้าน



ภาพที่ 3.6 การเชื่อมต่อหม้อแปลงไฟฟ้าแบบวีจากโปรแกรม Digsilent Power Factory

### 4) แบบจำลองการเชื่อมต่อหม้อแปลงแบบเลอบลอง (Leblanc – connection)

การเชื่อมต่อหม้อแปลงไฟฟ้าสถานีไฟฟ้าขับเคลื่อนแบบเลอบลอง จะมีหม้อแปลงไฟฟ้า 1 เฟสอยู่ 3 ลูก แต่ละลูกจะมีขดลวดด้าน Primary และด้าน Secondary ที่ไม่เท่ากัน โดยในด้านปฐมภูมิมีการเชื่อมต่อกับเฟส a-b-c ส่วนด้านทุติยภูมิมีการเชื่อมต่อที่ค่อนข้างซับซ้อน



ภาพที่ 3.7 การเชื่อมต่อหม้อแปลงไฟฟ้าแบบเลอบลองจากโปรแกรม Digsilent Power Factory



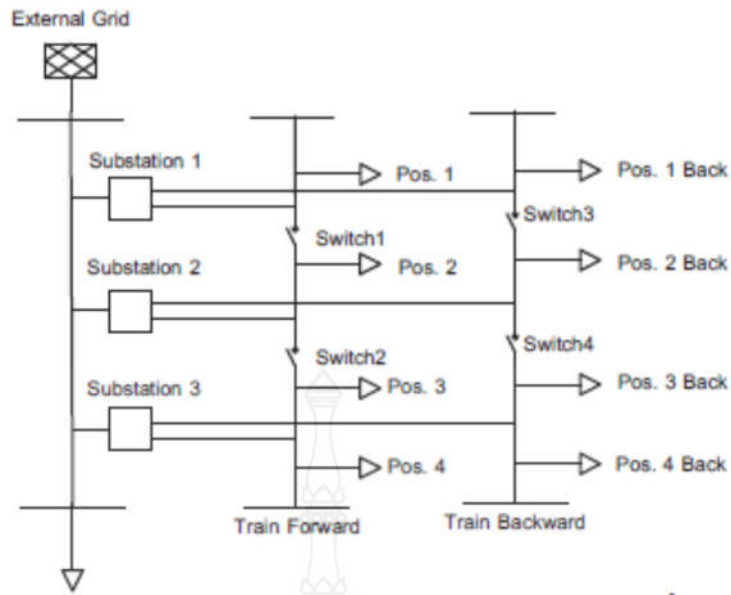
## บทที่ 4

### การวิเคราะห์และผล

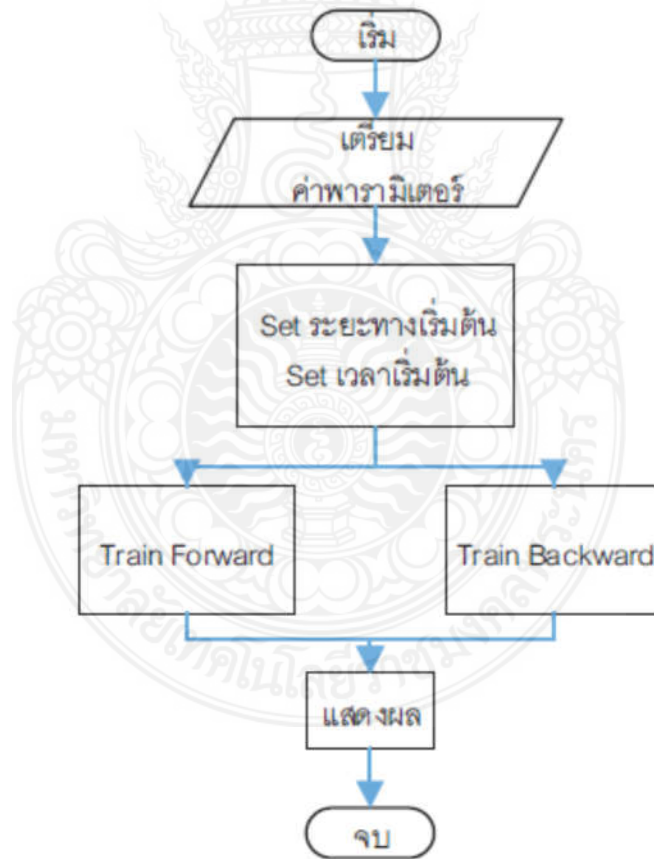
#### 4.1 บทนำ

ในบทที่แล้วได้อธิบายในส่วนของทฤษฎีที่มีความเกี่ยวข้องกับโครงการรถไฟฟ้าที่ใช้แรงดันไฟฟ้าแบบกระแสตรง และกระแสสลับ รวมถึงหัวข้ออื่น ๆ ที่เป็นกรณีศึกษาสำหรับความไม่สมดุลของแรงดันไฟฟ้าที่ใช้กับระบบรถไฟฟ้าขนส่งมวลชน และแบบจำลองการเชื่อมต่อหม้อแปลงไฟฟ้ากับทางการไฟฟ้าซึ่งประกอบไปด้วย การเชื่อมต่อแบบเฟสเดียวที่ใช้หม้อแปลงไฟฟ้า 1 เฟส จำนวน 2 ลูกเชื่อมต่อในคู่เฟสเดียวกันกับสายส่งของการไฟฟ้า การเชื่อมต่อแบบวีที่ใช้หม้อแปลงไฟฟ้า 1 เฟสจำนวน 2 ลูก มีวิธีการต่อแบบเดลต้าเปิดหนึ่งด้าน การเชื่อมต่อแบบสกอตต์ประกอบด้วยหม้อแปลงไฟฟ้า 1 เฟสจำนวน 2 ลูก โดยมีหม้อแปลงหนึ่งลูกเป็นแบบชนิดพิเศษคือมีแทปกลางไปเชื่อมต่อกับหม้อแปลงลูกที่สอง และการเชื่อมต่อแบบเลอบลอง ประกอบด้วยหม้อแปลงไฟฟ้า 1 เฟสจำนวน 3 ลูก ซึ่งจะมีความพิเศษตรงที่หม้อแปลงแต่ละลูกนั้นมีขดลวดด้านปฐมภูมิและด้านทุติยภูมิที่ไม่เท่ากัน สำหรับกรณีศึกษาการเพิ่มความเชื่อถือได้ของระบบรถไฟฟ้าขนส่งมวลชน มุ่งเน้นไปที่การศึกษาถึงแรงดันไฟฟ้าที่ไม่สมดุลของระบบไฟฟ้าซึ่งมีผลต่อความเชื่อถือได้ของระบบไฟฟ้า งานวิจัยนี้จะทดลองให้ขบวนรถไฟฟ้าวิ่งสวนทางกันด้วยความเร็วคงที่ ( $a=0$ ) โดยจะแทนค่าพารามิเตอร์ของรถไฟฟ้าด้วยโหลดขนาด 1 MW และมีระยะห่างระหว่างสถานีเท่ากับ 20 Km จะทำการพิจารณาหม้อแปลงไฟฟ้ากระแสสลับทั้ง 3 รูปแบบด้วยการติดตั้งในแต่ละสถานีไฟฟ้าย่อย ซึ่งใช้แรงดันไฟฟ้าแรงสูงและแรงต่ำเป็น 20 kV และ 10 kV ตามลำดับ เพื่อศึกษาถึงค่าแฟกเตอร์ของแรงดันไฟฟ้าไม่สมดุล

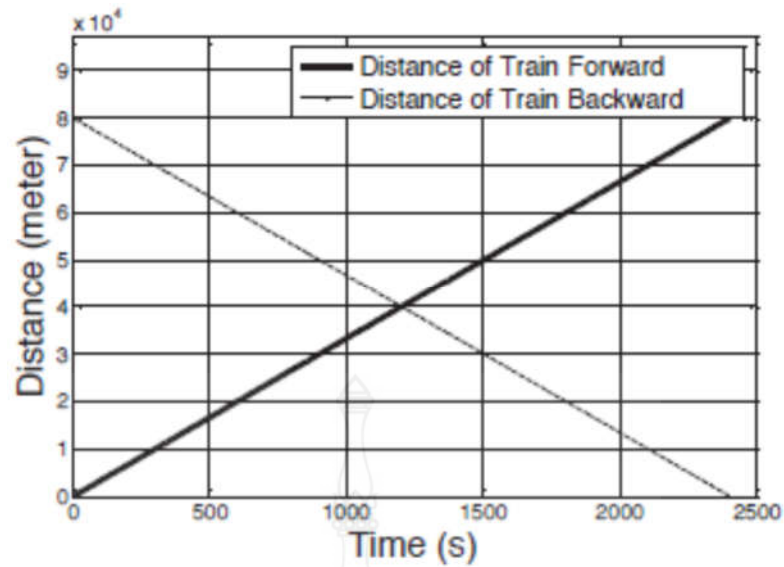




ภาพที่ 4.1 แบบจำลองการติดตั้งหม้อแปลงในแต่ละสถานีไฟฟ้าขับเคลื่อน

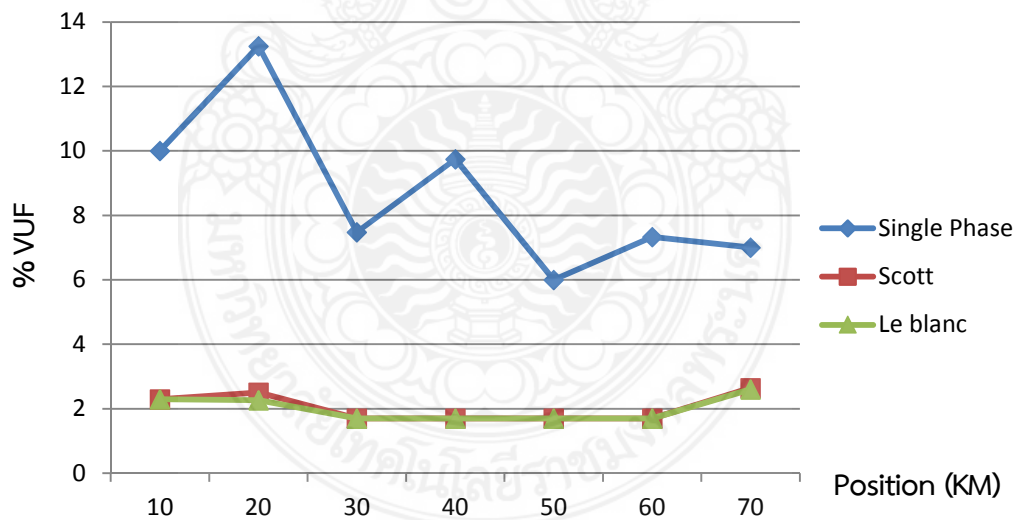


ภาพที่ 4.2 แผนผังแสดงการดำเนินงานทดลอง



ภาพที่ 4.3 กราฟแสดงระยะทาง - เวลา ที่รถไฟเคลื่อนที่ไปและกลับ

ผลการวิเคราะห์แบ่งออกได้เป็น 3 กรณี ได้แก่ แบบหม้อแปลงไฟฟ้าเฟสเดียว แบบหม้อแปลงไฟฟ้าสกอตต์ และแบบหม้อแปลงไฟฟ้าเลอบลอง โดยแสดงผลการทดลองออกมาเป็นกราฟที่มีความสัมพันธ์กันระหว่างตำแหน่งและค่าแฟกเตอร์ของแรงดันไฟฟ้าไม่สมดุล



ภาพที่ 4.4 เปรียบเทียบผลของแฟกเตอร์แรงดันไฟฟ้าไม่สมดุลจากการเชื่อมต่อหม้อแปลงแบบต่างๆ

ตารางที่ 4.1 ตารางค่า %VUF สูงสุดและต่ำสุด ที่สถานีไฟฟ้าย่อย

การเชื่อมต่อ	สถานีไฟฟ้าย่อย	
	Max	Min
แบบเฟสเดียว	13.25	7.48
แบบสกอตต์	2.64	1.36
แบบเลอบลอง	2.52	0.19

4.2 สรุป

จากผลของการจำลองระบบการเชื่อมต่อหม้อแปลงไฟฟ้าในรูปแบบการเชื่อมต่อแบบเฟสเดียว การเชื่อมต่อแบบสกอตต์ และการเชื่อมต่อแบบเลอบลอง ทำให้เห็นค่าเปอร์เซ็นต์แฟกเตอร์ของความไม่สมดุลทางระบบไฟฟ้าในรูปแบบเฟสเดียวมีขนาดความไม่สมดุลสูงที่สุด รองลงมาคือแบบสกอตต์และแบบเลอบลองตามลำดับ แสดงให้เห็นว่าหากใช้การเชื่อมต่อหม้อแปลง 1 เฟส และเชื่อมต่อกันในคู่เฟสเดียวกันก็จะมีผลให้เกิดความไม่สมดุลขึ้นในระบบไฟฟ้าและอาจส่งผลถึงอุปกรณ์ไฟฟ้าได้ นอกจากนี้ยังสังเกตได้ว่าเปอร์เซ็นต์ความไม่สมดุลที่เกิดขึ้นมีค่าสูงขึ้นอันเนื่องมาจากปัจจัยต่างๆที่มากกระทำกับขบวนการไฟฟ้า ยกตัวอย่างเช่นตอนที่ขบวนการไฟฟ้ามีการออกตัวเพราะต้องใช้แรงบิดของมอเตอร์จำนวนมากเพื่อให้ชนะแรงเสียดทานของตัวรถ พอขบวนการไฟฟ้าวิ่งที่ความเร็วคงที่ไม่มีแรงทำให้เปอร์เซ็นต์ความไม่สมดุลก็มีค่าลดลง เป็นต้น หมายถึงว่าโหลดของระบบก็อาจส่งผลถึงค่าความไม่สมดุลด้วยเช่นกัน ดังนั้นควรเลือกใช้การเชื่อมต่อหม้อแปลงไฟฟ้าขับเคลื่อนกระแสลับแบบเลอบลองเพราะทำให้เกิดค่าแรงดันไฟฟ้าไม่สมดุลต่ำสุด

## บทที่ 5

### สรุปและข้อเสนอแนะ

#### 5.1 สรุปผลการดำเนินงาน

งานวิจัยนี้ศึกษาวิเคราะห์ในเรื่องของการเพิ่มความเชื่อถือได้ หรือคุณภาพของระบบไฟฟ้าที่เกิดขึ้นในระบบ โดยพิจารณาจากองค์ประกอบต่างๆที่เกี่ยวข้องทั้งในเรื่องของอุปกรณ์ทางระบบไฟฟ้า ระบบสายส่ง โครงการรถไฟฟ้าขนส่งมวลชนที่ใช้แรงดันไฟฟ้ากระแสตรง เช่น MRT, BTS ที่ใช้ไฟฟ้ากระแสตรง 750 โวลต์ผ่านตัวเครื่อง Rectifier ที่แปลงแรงดันไฟฟ้ากระแสสลับ 24 kV และโครงการรถไฟฟ้าที่ใช้กระแสสลับ 24 kV เช่น ARL โดยศึกษาที่การเชื่อมต่อหม้อแปลงของสถานีไฟฟ้าขับเคลื่อนกระแสสลับ ใน 4 รูปแบบ ได้แก่การเชื่อมต่อหม้อแปลงไฟฟ้าแบบเฟสเดียว การเชื่อมต่อหม้อแปลงไฟฟ้าแบบวี การเชื่อมต่อหม้อแปลงไฟฟ้าแบบสกอตต์ และการเชื่อมต่อหม้อแปลงไฟฟ้าแบบเลอบลอง นำมาวิเคราะห์ผลของค่าแฟกเตอร์แรงดันไฟฟ้าไม่สมดุลที่เกิดขึ้นในระบบซึ่งการเชื่อมต่อแบบสกอตต์และแบบเลอบลองให้ค่าเปอร์เซ็นต์ความไม่สมดุลของระบบไฟฟ้ามักใกล้เคียงกัน ต่างจากการเชื่อมต่อแบบเฟสเดียวที่ให้ค่าเปอร์เซ็นต์ความไม่สมดุลที่ค่อนข้างสูง และมีค่าเกินมาตรฐานของ IEEE ที่ระบุว่าเกิดการเกิดแรงดันไม่สมดุลควรมีค่าระหว่าง 0.5% ขึ้นไปแต่ไม่ควรเกิน 2% เพราะอาจส่งผลกระทบต่ออุปกรณ์ไฟฟ้าต่างๆได้ เช่นมอเตอร์ไฟฟ้ากระแสสลับ ขนาด 3 เฟส หากเกิดความไม่สมดุลของแรงดันขึ้นประสิทธิภาพของมอเตอร์จะลดลงเนื่องจากมีกระแสไหลเข้าไปในขั้วลบมากขึ้นส่งผลให้สนามแม่เหล็กวิ่งตัดกัน และหากเกิดขึ้นเป็นเวลานานก็จะทำให้มอเตอร์ได้รับความร้อนสูงจนอาจเสียหายได้

#### 5.2 ข้อเสนอแนะ

5.2.1 ควรมีการศึกษาและพัฒนากการเชื่อมต่อหม้อแปลงไฟฟ้าที่สถานีไฟฟ้าขับเคลื่อนในรูปแบบอื่นๆ เพื่อลดค่าความไม่สมดุลของแรงดันไฟฟ้าให้มีค่าน้อยที่สุด

5.2.2 ศึกษาเพิ่มเติมในเรื่องของการลดโหลดที่เพิ่มขึ้นในระบบซึ่งส่งผลต่อค่าแรงดันไฟฟ้าไม่สมดุลได้

## เอกสารอ้างอิง

- IEEE recommended practice for monitoring electric motor quality (2009). IEEE std 1159-2009
- IEC 60850 (2007), Railway applications, Supply voltage of Traction Systems Third Edition.
- Firat, G., Yang, G. and Al-Ali, H.A.H. (2015). A comparative Study of Different of the Transformer connection for Railway Power System mitigation of Voltage unbalance. IEEE, Proceeding of APSCOM, 2015.
- Ching, Y.L., Bin, K.C., Wei, J. L.. and Yen, F.H. (1997). Effects of various unbalanced Voltages on the operation performance of an induction motor under the Same voltage unbalance factor. Electric Power Systems Research, Vol 47, (P.153-163)
- Hsu C., Huang H.M., Cheng T.J. and Tsai L.J.. 2013. "Impact of Light Rail Tram on the Voltage and Unbalance of Distribution System", Mathematical of the Problems in Engineering, Vol.2013
- Kalantari M., Sadeghi M.J., Fazel S.S. and Farshad S.. 2010. "Investigation of Power Factor Behavior in AC Railway System Based on Special Traction Substation Transformer". Journal of Electromagnetic Analysis and Application, 2(11): 618-216
- ณัฐพงษ์ มิ่งพฤกษ์, "การศึกษาความไม่สมดุลแรงดันไฟฟ้าของการเชื่อมต่อหม้อแปลงสถานีไฟฟ้าขับเคลื่อนกระแสสลับ", วิทยานิพนธ์วิศวกรรมศาสตรบัณฑิต, สาขาวิศวกรรมไฟฟ้า, มหาวิทยาลัยเทคโนโลยีสุรนารี, 2559
- ดลมนรจณ์ สันติยานนท์, "การศึกษาเปรียบเทียบประสิทธิภาพในการลดแพกเตอร์แรงดันไฟฟ้าไม่ได้ดุลโดยใช้หม้อแปลงชนิดต่างๆ สำหรับระบบจ่ายไฟฟ้าให้กับรถไฟ", วิทยานิพนธ์ วิศวกรรมศาสตรบัณฑิต, สาขาวิศวกรรมไฟฟ้า, มหาวิทยาลัยเกษตรศาสตร์
- N.Mithulanan, A.Sode-Yome, N.Acharya, S.Phichaisawat, "Application of FACTS Controller in Thailand Power System," RTG Budget-Joint Research Project, Fiscal-Year 2008, January 2005
- A.Sode-Yome, N.Mithulanan, K.Y.Lee, "Static Voltage Stability margin enhancement Using STATCOM, TCSC and SSSC," IEEE/PES Transmission and Distribution Conference & Exhibition, Dalian, China, 2005

# ภาคผนวก



ภาคผนวก  
เอกสารที่ได้รับการตีพิมพ์เผยแพร่ในระหว่างการศึกษา



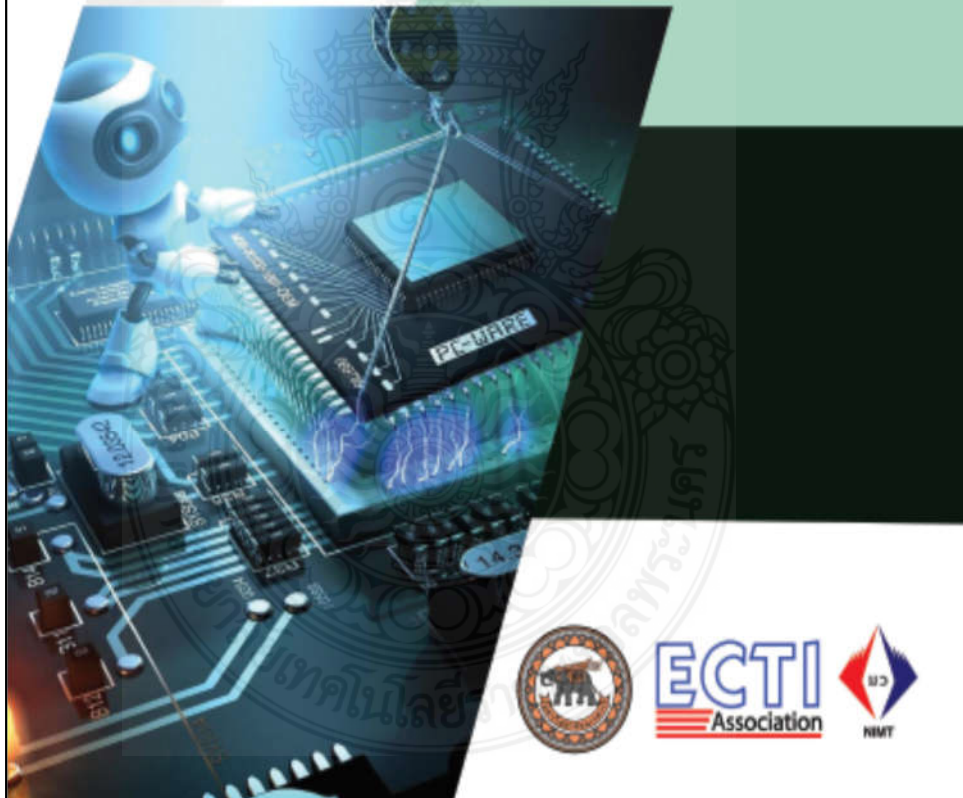
รายงานสืบเนื่องจากการประชุมวิชาการ  
Conference Proceedings

# ECTI-CARD 2018

การประชุมวิชาการ งานวิจัย และพัฒนาเชิงประยุกต์ ครั้งที่ 10

ณ ศูนย์วัฒนธรรมภาคเหนือตอนล่าง วังจันทร์ ริเวอร์วิว จ.พิษณุโลก

26 - 29 มิถุนายน 2561





การประชุมวิชาการ งานวิจัย และพัฒนาเชิงประยุกต์ ครั้งที่ 10 การประยุกต์ใช้งานเทคโนโลยีเพื่อตอบสนองนโยบายประเทศไทย 4.0  
10<sup>th</sup> ECTI-CARD 2018, Phitsanulok, Thailand

# ECTI-CARD 2018

การประชุมวิชาการ งานวิจัย และพัฒนาเชิงประยุกต์ ครั้งที่ 10  
การประยุกต์ใช้งานเทคโนโลยีเพื่อตอบสนองนโยบายประเทศไทย 4.0

วันที่ 26-29 มิถุนายน 2561

ณ ศูนย์วัฒนธรรมภาคเหนือตอนล่าง วังจันทน์วิเวกร์วิว  
จังหวัดพิษณุโลก

จัดโดย

สมาคมวิชาการ ไฟฟ้า อิเล็กทรอนิกส์ คอมพิวเตอร์ โทรคมนาคม และ สารสนเทศ  
มหาวิทยาลัยอเนกนคร  
สถาบันมาครวิทยาแห่งประเทศไทย

วันที่ 26-29 มิถุนายน พ.ศ.2561 ณ ศูนย์วัฒนธรรมภาคเหนือตอนล่าง วังจันทน์วิเวกร์วิว จังหวัดพิษณุโลก

FID	เรื่อง/ผู้แต่ง	หน้า
1263	กรณีศึกษาการปลูกอินทผลุกลูกผสม	770
1264	วงจรของชีวิตแมลงศัตรูพืชที่อาจพบในระบบนิเวศของสวนทุเรียนอินทรีย์สำหรับการใช้ร่วมกับพืช แสงอาทิตย์	774
1265	การพัฒนาการผสมเทียมที่อุณหภูมิสูงกว่า 1500 °C โดยวิธีสาดเกลียวของพอลิเอทิลีน	777
1266	การพัฒนากระบวนการสกัดสารสกัดจากเปลือกทุเรียนเพื่อใช้ในการผลิตสบู่ Hand Soap, Eco Friendly	781
1267	การวิเคราะห์ปัจจัยที่ส่งผลให้เกิดการเกิดสารพิษจากเชื้อราในกระบวนการผลิตแป้งมันเทศ โดยใช้การถนอมอินทรีย์	783
1268	การพัฒนาเพื่อเพิ่มผลผลิตของทุเรียนสายพันธุ์ของเกษตรกรในภาคเหนือตอนใต้ โดยใช้ปุ๋ยชีวภาพ	789
1269	การพัฒนาการแปรรูปของทุเรียนที่มีกลิ่นหอมและรสชาติดีสำหรับบริโภค Application บนแพลตฟอร์ม	793
1270	ระบบอัตโนมัติสำหรับเครื่องสำอางน้ำหอม อ่างอาบน้ำเป็นกรด-ด่างและอุณหภูมิในการปลูกพืช ไฮโดรพอนิกส์	797
1271	พฤติกรรมของผู้ใช้แอปพลิเคชัน "EXCAT Travel" เพื่อการตรวจสอบสภาพรถจักรยานยนต์	801
1272	จัดการอุตสาหกรรมหัตถกรรมผ้าไหมในจังหวัดลำปาง ชุมชนอุตสาหกรรมแม่เหล็กไฟฟ้าในพม่า โทรศัพท์มือถือ	803
1273	การป้องกันแมลงศัตรูพืชในแปลงปลูกทุเรียนอินทรีย์ด้วยสารสกัดจากสมุนไพร: กรณีศึกษาทุเรียนอินทรีย์แบบ เพื่อสุขภาพ	809
1275	โปรโตคอลสำหรับพืชผักปลอดสารพิษจากสวนทุเรียนอินทรีย์ภายใต้การดูแลของเกษตรกร โดยใช้ในการผลิต เครื่องสำอางแบบปลอดภัย	813
1276	การปรับปรุงขั้นตอนวิธีระบุตำแหน่งภายในอาคารจากเซ็นเซอร์ด้วยเทคนิคที่ประยุกต์ใช้	817

### การป้องกันแรงดันไฟฟ้าไม่สมดุลของระบบแรงดันไฟฟ้าขนส่งมวลชน: กรณีเชื่อมต่อบรรยากาศไฟฟ้าแบบเฟสเดียว Unbalance Voltage Protection for Electric Mass Rapid Transit Train: Single Phase-Connection

ศรันย์ มั่นหมายพิบูลย์ สารภี รุสทิพย์พันธุ์ และณัฐจิตร รักไทยเจริญพิศ

สาขาวิชาวิศวกรรมไฟฟ้า คณะวิศวกรรมศาสตร์ มหาวิทยาลัยเทคโนโลยีราชมงคลพระนคร

เลขที่ 1381 ถนนพระยาธรรมยาณี แขวงวัดราชบพิธ เขตพระนคร กรุงเทพมหานคร 10000 โทรศัพท์ 02-6363000 E-mail: Saran.lkn@gmail.com

#### บทคัดย่อ

บทความนี้เป็นงานศึกษาป้องกันแรงดันไฟฟ้าไม่สมดุลของระบบแรงดันไฟฟ้าขนส่งมวลชนกรณีเชื่อมต่อบรรยากาศไฟฟ้าแบบเฟสเดียว ซึ่งสามารถทำได้ด้วยการตรวจสอบสถานะในส่วนของไฟฟ้า การตรวจสอบตัวเก็บประจุและฟิวส์ป้องกันจุดสัมผัสประจุตามปกติที่อยู่ในสภาพดีเสมอ เมื่อเจอข้อผิดพลาดเหล่านี้จะรู้ จะทำให้แรงดันไฟฟ้าของระบบรถไฟเกิดความไม่สมดุล และส่งผลให้สายเคเบิลที่มีไฟไหม้และอาจทำให้ตัวมอเตอร์ขับเคลื่อนรถไฟเกิดความร้อนขึ้น ซึ่งเป็นสาเหตุให้มอเตอร์เกิดความเสียหายได้ ผลจากการป้องกันแรงดันไฟฟ้าไม่สมดุลด้วยวิธีที่นำเสนอในบทความนี้ช่วยลดความเสียหายได้

**คำสำคัญ:** แรงดันไฟฟ้าไม่สมดุล, ระบบแรงดันไฟฟ้าขนส่งมวลชน, การเชื่อมต่อบรรยากาศไฟฟ้า

#### Abstract

This paper presents unbalance voltage protection for electric mass rapid transit train in case of single phase connection. This can be done by checking the power cord, the capacitors and its fuse are always in good condition. If these devices are damaged, this will cause the voltage of the train system to be unbalanced. As a result, the current surges in the drive motor. The effect of unbalanced voltage protection with this proposed method is shown at the end of the article.

**Keywords:** unbalance voltage, mass rapid transit train, single-phase connection

#### 1. บทนำ

ระบบแรงดันไฟฟ้าขนส่งมวลชนได้รับความเสียหายอย่างต่อเนื่อง เช่น การขาดสายเคเบิล, มอเตอร์ขับเคลื่อน, มอเตอร์ขับเคลื่อน แม้กระทั่งอุปกรณ์ทางรถไฟ ซึ่งเมื่อแรงดันไฟฟ้าของระบบเกิดความไม่สมดุล เช่น แรงดันไฟฟ้าของระบบแรงดันกระแสไฟฟ้า (MRT) และแรงดันไฟฟ้าที่มีผลสืบเนื่อง โดยทางผลของผู้ใช้ทำให้เสียเงิน

ความเสียหายใช้พลังงานทางไฟฟ้าสำหรับจ่ายในระบบรถไฟซึ่งในแง่ของการใช้พลังงานไฟฟ้าก่อนจ่ายเข้าสู่รถจะก่อให้เกิดแรงดันไฟฟ้าไม่สมดุลในระบบได้

ระบบแรงดันไฟฟ้าขนส่งมวลชนมีเป็นโครงสร้างที่มั่นคงเมื่อเทียบกับกรณีการเชื่อมระบบไฟฟ้าแบบเฟสเดียวในช่วงสั้นๆสำหรับการเชื่อมต่อบรรยากาศของตัวรถไฟฟ้าที่เชื่อมต่อบรรยากาศที่ โดยทั่วไปไม่มีผู้ดูแลของสถานีจ่ายระบบไฟฟ้าจึงเกิดการเชื่อมต่อบรรยากาศ ความไม่สมดุลของระบบไฟฟ้าและแรงดันไฟฟ้าที่ส่งผลให้ไฟฟ้าเชื่อมต่อบรรยากาศ [1]

การศึกษาวิจัยด้านแรงดันไฟฟ้าไม่สมดุลในระบบรถไฟขนส่งมวลชนจะช่วยให้เกิดการพัฒนาระบบความปลอดภัยให้กับตัวรถ การตรวจเช็คสถานะการเกิดผลกระทบกับผู้ใช้บริการกรณีเกิดปัญหา เช่น กรณีเกิดไฟไหม้ แรงดันไฟฟ้าไม่สมดุลและตัวรถไฟฟ้าที่ชำรุด ซึ่งผู้ให้บริการจะตรวจเช็คสถานะของรถไฟที่ชำรุดหรือไม่ได้รับความเสียหาย และอาจทำให้ความน่าเชื่อถือเกี่ยวกับประสิทธิภาพของรถไฟลดลง

#### 2. ทฤษฎีที่เกี่ยวข้อง

##### 2.1 ระบบไฟฟ้าที่จ่ายให้กับรถไฟขนส่งมวลชน

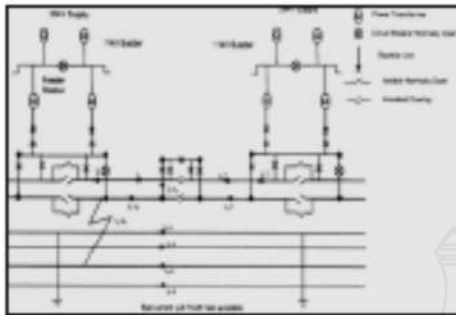
ในปัจจุบันระบบรถไฟที่มีการก่อสร้างเพิ่มขึ้น จะใช้ระบบกระแสไฟฟ้าอยู่ 2 ประเภทหลัก ดังนี้

- ระบบแรงดันไฟฟ้ากระแสตรง 750 โวลต์ โดยทางไฟฟ้าจะจ่ายแรงดันไฟฟ้ากระแสตรง 115 กิโลโวลต์และทำการแปลงให้เป็นแรงดันต่ำที่สถานี 205 ก่อนส่งไฟฟ้ากระแสตรงแรงดัน 24 กิโลโวลต์มาใช้ในระบบ Mainline ผ่านข้อเหวี่ยงสายไฟฟ้า (Cable Trough) จากนั้นไฟฟ้ากระแสตรงจะถูกแปลงเป็นไฟฟ้ากระแสสลับผ่านทางที่จ่ายแรงดันไฟฟ้ากระแสสลับ 14 (Traction Substation) ที่มีการติดตั้งเป็นรถยกตามแนววิ่งรถไฟเพื่อป้องกันไฟไหม้และสาย และตัวรถไฟฟ้าจะรับพลังงานไฟฟ้ากระแสสลับจากรางเพื่อสามนี้ไปใช้งานผ่านอุปกรณ์ที่มีชื่อว่า Capacitor bank ที่อยู่ด้านข้างและด้านขวาของตัวรถไฟฟ้า
- ระบบแรงดันไฟฟ้ากระแสสลับ 25 กิโลโวลต์ ซึ่งในปัจจุบันจะมีการเชื่อมต่อบรรยากาศที่เชื่อมต่อบรรยากาศแบบสองขั้วชนิดสามขั้วต่อ และจะมีการรับกระแสไฟฟ้าเข้าสู่ตัวรถไฟฟ้าไปใช้งานผ่าน



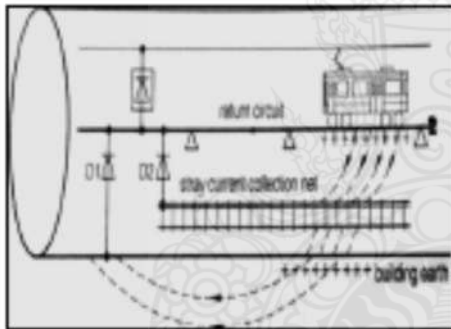
**บทความวิจัย**

การประเมินวิชาการ งานวิจัยและพัฒนาเชิงประยุกต์ ครั้งที่ 10  
10<sup>th</sup> ECTS-CARD 2018, Phitsanulok Thailand



รูปที่ 5 โครงสร้างระบบจ่ายไฟฟ้าการขนส่งทางรถไฟ Track section

ระบบจ่ายไฟฟ้าระบบอื่นกับ หรือระบบกรวดของระบบรถไฟที่ใช้งานในระบบไฟฟ้าการขนส่ง ได้แก่ระบบ Stay Current Collection Net System (SCCN) เป็นระบบที่นำมาใช้กับรถไฟที่มีระบบจ่ายพลังงานในตัวในตู้ โดยมีการติดตั้งสายกรวดระบบกรวดรับพลังงานในโครงสร้างของตัวรถมาไว้ เพื่อป้องกันการเกิดร้อนในส่วนที่เป็นโลหะ

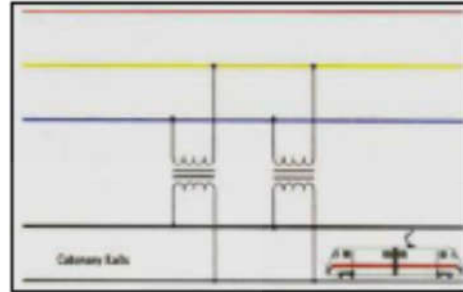


รูปที่ 6 ระบบ SCCN

**2.2 ประเภทของการเชื่อมต่อของแปลงจ่ายพลังงานของรถไฟ**

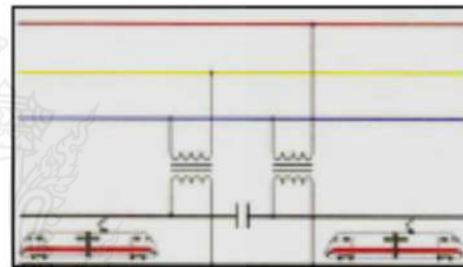
การจ่ายกระแสไฟฟ้าให้กับรถไฟในระบบ AC จะดำเนินการจากตู้ที่เรียกว่า Traction Substation และด้วยระบบไฟฟ้าที่ใช้ในระบบรถไฟแบบสองทิศทาง จะดำเนินการเชื่อมต่อสถานีไฟฟ้าเข้ากับระบบของการจ่ายไฟฟ้านั้นจะมีความคล้ายคลึงกับระบบอื่นทั้งนี้ โดยจะมีการเชื่อมต่อ 3 รูปแบบดังนี้

**2.2.1 การเชื่อมต่อระบบ Single phase**



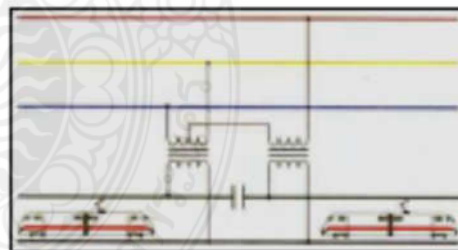
รูปที่ 7 การเชื่อมต่อระบบ Single phase

**2.2.2 การเชื่อมต่อระบบ V**



รูปที่ 8 การเชื่อมต่อระบบ V

**2.2.3 การเชื่อมต่อระบบ Scott**



รูปที่ 9 การเชื่อมต่อระบบ Scott

**บทความวิจัย**

การประยุกต์ใช้การแทนค่าพหุนามเชิงประพจน์ ครี่สี่ 10  
10<sup>th</sup> ECTI-CARD 2018, Phitsanulok Theorist

**2.3 การตรวจสอบแรงดันไฟฟ้าไม่สมดุลของรถไฟ**

**2.3.1 การเขียนค่าสัมประสิทธิ์ตัว**

$$a_1 = \frac{3R_1}{2Z_0 + 3Z_2} \quad (1)$$

**2.3.2 การเขียนค่าสัมประณ F**

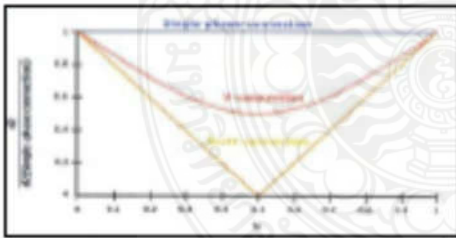
$$a_2 = \frac{3R_1}{2Z_0 + 3Z_2} \sqrt{3Z_1^2 Z_2^2 - 2Z_1 Z_2 + Z_1} \quad (2)$$

**2.3.3 การเขียนค่าสัมประณ Soot**

$$a_3 = \frac{Z_0 |3R_1 - 1|}{Z_2 + Z_0} \quad (3)$$

- โดยที่  $Z_0$  คือ ค่าแรงดันไม่สมดุล
- $Z_1$  คือ ค่าโหลดรถไฟที่รับผล
- $Z_2$  คือ ค่ากำลังไฟฟ้าต่อวงจรของระบบ
- $R_1$  คือ ค่าอัตราส่วน  $Z_1/Z_2$

จากสมการข้างต้นแสดงไว้ให้เห็นว่าตัวแปรที่เข้าไปในแรงดันไม่สมดุล จะเกิดขึ้นมีค่าจากการเกิดมีค่าเล็กน้อย ขึ้นอยู่กับขนาดโหลดของรถไฟที่รับผลของ โหลดด้านข้างและ โหลดด้านขวาของสถานีจ่าย ไฟ และกำลังไฟฟ้าต่อวงจรของระบบ เมื่อเปรียบเทียบกับแรงดันไฟฟ้าไม่สมดุลของผลต่อรูปแปลงจะเห็นว่าค่าสัมประณ Soot จะทำให้แรงดันไม่สมดุลต่ำสุด โดยผลพหุนามดี โหลดด้านข้างและ โหลดด้านขวาของสถานีจ่าย ไฟที่ต่างกัน จะ ได้แรงดันไม่สมดุลต่ำกว่ารูปผลที่ ส่วนการเขียนค่าสัมประณเพื่อวิเคราะห์ใช้กับแรงดันไม่สมดุลสูงสุดจะมีค่าเท่าใด ขึ้นอยู่กับค่า  $R_1$  ซึ่งค่าแรงดันไม่สมดุลของการเขียนค่าสัมประณสามารถคำนวณได้ว่า นำค่าพหุนามเขียนกราฟได้ดังรูปที่ 10



รูปที่ 10 สหรีบทเขียนแรงดันไม่สมดุลจากการแปลงค่าต่างๆ

**3. การตรวจสอบอุปการณที่ต่อกรณดันไฟฟ้าไม่สมดุล**

**3.1 การตรวจสอบแรงดันไฟฟ้า**

การตรวจสอบแรงดันไฟฟ้าในส่วนของตัวรวมไฟฟ้าของสถานีรวมของรถไฟที่ตรวจสอบเพื่อตรวจสอบการเกิดของแรงดันไฟฟ้าไม่สมดุลบนขบวนรถ และการตรวจสอบสภาพของสถานีไฟฟ้าหรือบริเวณต่างๆของตัวรวมที่มีผลของแรงดันไฟฟ้าไม่สมดุลของสถานีหรือการเกิดของแรงดันไฟฟ้าไม่สมดุลของสถานีที่เกิดจากแรงดันไฟฟ้าไม่สมดุลของสถานีหรือการเกิดของแรงดันไฟฟ้าไม่สมดุลของสถานี

**3.2 การตรวจสอบอุปการณที่ต่อกรณดันไฟฟ้าไม่สมดุล**

อุปการณที่ต่อกรณดันไฟฟ้าไม่สมดุลของสถานีรวมของรถไฟที่ตรวจสอบเพื่อตรวจสอบการเกิดของแรงดันไฟฟ้าไม่สมดุลบนขบวนรถ และการตรวจสอบสภาพของสถานีไฟฟ้าหรือบริเวณต่างๆของตัวรวมที่มีผลของแรงดันไฟฟ้าไม่สมดุลของสถานีหรือการเกิดของแรงดันไฟฟ้าไม่สมดุลของสถานี

**4. สรุป**

การเขียนค่าสัมประณเพื่อวิเคราะห์ใช้กับแรงดันไม่สมดุลสูงสุดของสถานีรวมของรถไฟที่ตรวจสอบเพื่อตรวจสอบการเกิดของแรงดันไฟฟ้าไม่สมดุลบนขบวนรถ และการตรวจสอบสภาพของสถานีไฟฟ้าหรือบริเวณต่างๆของตัวรวมที่มีผลของแรงดันไฟฟ้าไม่สมดุลของสถานีหรือการเกิดของแรงดันไฟฟ้าไม่สมดุลของสถานี

**5. ศึกษารายละเอียด**

บทความวิจัย การตรวจสอบแรงดันไฟฟ้าไม่สมดุลของสถานีรวมของรถไฟที่ตรวจสอบเพื่อตรวจสอบการเกิดของแรงดันไฟฟ้าไม่สมดุลบนขบวนรถ และการตรวจสอบสภาพของสถานีไฟฟ้าหรือบริเวณต่างๆของตัวรวมที่มีผลของแรงดันไฟฟ้าไม่สมดุลของสถานีหรือการเกิดของแรงดันไฟฟ้าไม่สมดุลของสถานี

**เอกสารอ้างอิง**

- [1] Tiao-Hsiang Chen, Criteria to Estimate the Voltage Unbalance due to High Speed Railway demand IEEE Transactions on Power Systems, Vol.9, 1994, No.3
- [2] รศ.ดร.ธนิศฉัตร กุศลพานิชย์พนธ์, การส่งกำลังไฟฟ้าสำหรับระบบรถไฟที่ประเทศไทย เช่นเดียวกับ 2557
- [3] EN 50122: Railway application - Fixed installations - Electrical safety, Earthing and the return circuit
- [4] Srirachaburi Airport Rail Link, 2016. Available from: <http://www.sra.go.th/> [ Accessed 22 Sep 2016].

## ประวัติผู้เขียน

ชื่อ - นามสกุล	นายศรัณย์ ลัคนาพาชื่นกุล
รหัสประจำตัวนักศึกษา	055970402509-2
วัน เดือน ปี ที่เกิด	19 พฤศจิกายน 2533
ประวัติการศึกษา	วิศวกรรมศาสตรบัณฑิต (วิศวกรรมอิเล็กทรอนิกส์) มหาวิทยาลัยเทคโนโลยีพระจอมเกล้าพระนครเหนือ
สถานที่ทำงานปัจจุบัน	บริษัท ช.การช่าง จำกัด (มหาชน)
ตำแหน่งปัจจุบัน	วิศวกรภาคสนาม

